

Biblio:

- H mépa ondes 2^{ème} année
- Physiq PC-PC* Tout en un
- Classical Electrodynamics
Jackson
- Mathématisq pour la γ & les γ ciens, W. Appel
- La γ par la pratiq, Barthe \grave{e} s & Portelli
- ondes, cours de γ de Berkeley.
- Fluid Mechanics, Landau et Lifschitz
- BUP 649, Lahaye
- BUP 438, Guinier
- BUP 692, Bousquet et Vionat
- BUP 742, Moreau
- BUP 1035, Choimet
- Optiq γ , Richard Taillet
- γ des solitons, Dauriau et Peyraud

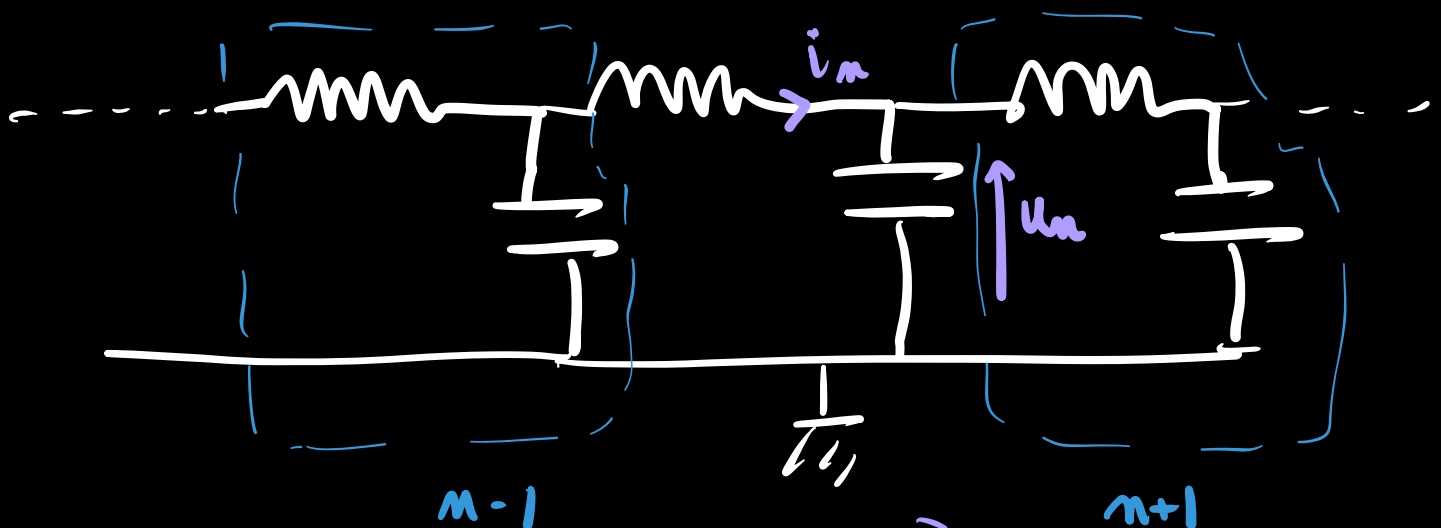
Chapitre I: GENERALITES SUR LES ONDES

I. DESCRIPTION DES PHENOMENES ONDULATOIRES

1) Des oscillateurs à l'onde

a) Description

- On va partir de ce qu'on connaît, à savoir des oscillateurs en onde discrete, et on va voir comment construire la description ondulatoire de la limite continue.
- Ici, on veut décrire la propagation de courant d'un câble coaxial. Pour cela, nous allons venir décrire le modèle à constantes réparties avec la succession d'oscillateurs LC.

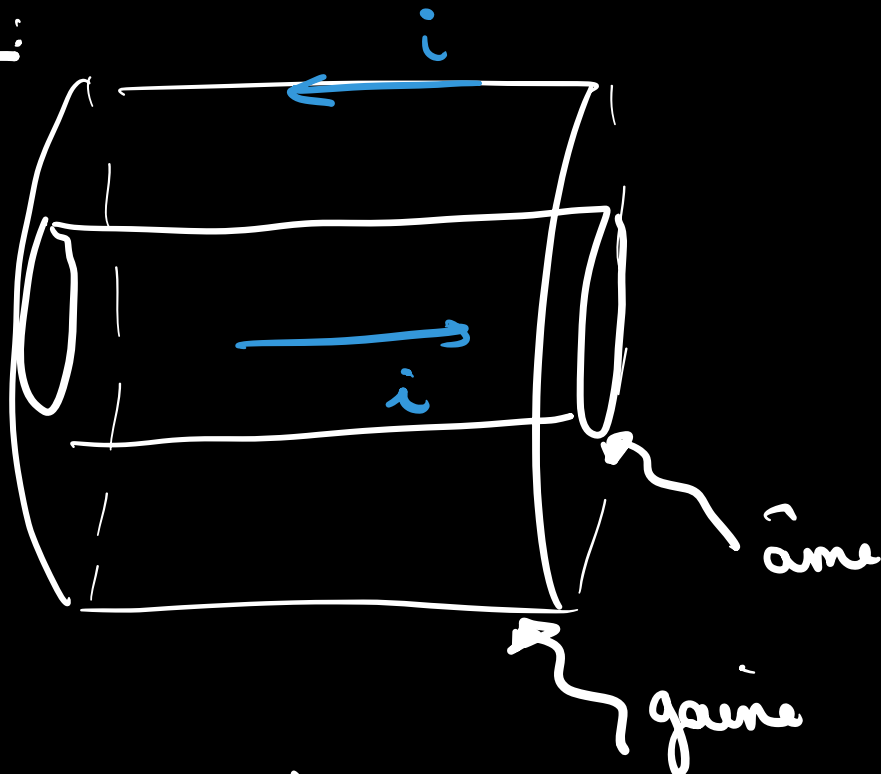


u_m : tension en sortie du $m^{\text{ème}}$ filtre LC

i_m : courant en entrée

OS q toutes les capacités sont =, idem pour les inductances

• Motivations:



↳ 2 conducteurs séparés par l'isolant: effet capacitif

↳ courant variable: effet inductif

↳ capacités en // et bobines en série car ces effets doivent s'ajouter.

↳ on néglige la dissipation par effet Joule de les conducteurs: pas de résistance en série

↳ on néglige la résistance de fuite due au caractère non idéal de l'isolant:

↳ pas de résistance en //.

↳ régime HF

↳ OS qui on peut appliquer localement l'ARQS magnétique m si on veut décrire le phénomène de

propagat: $a \ll c/f$

• loi des mailles: $u_{m-1} = u_m + L \frac{di_m}{dt}$

$$\Rightarrow u_m - u_{m-1} = -L \frac{di_m}{dt}$$

• loi des nœuds: $i_m = i_{m+1} + C \frac{du_m}{dt}$

$$\Rightarrow i_{m+1} - i_m = -C \frac{du_m}{dt}$$

b) Approx. CONT

- Approx. continue: OS \bar{q} la distance a entre circuits est \ll devant la distance caractéristique des phénomènes de propagat $\lambda (cf \oplus \text{lien}) \Rightarrow$ coïncide avec les condit^o d'ARQS.
 \Leftrightarrow le tps de propagat entre 2 circuits est \ll devant le tps caractéristique des phénomènes de propagat.
- OS aussi qu'on a 1 sys. ouvert (une os d'oscillateur)
- Dans ce cas, on peut considérer \bar{q} u_{m-1}, u_m, u_{m+1} sont proches et on peut déf. 1 chp CONT $u(x,t)$ t. q. $u_m = u(ma, t)$.
+ idem pour i .
- Les 2 eqns précédentes se réécrivent:

$$\begin{cases} \frac{\partial u}{\partial x} = -\frac{L}{a} \frac{\partial i}{\partial t} = -\Lambda \frac{\partial i}{\partial t} \\ \frac{\partial i}{\partial x} = -\frac{C}{a} \frac{\partial u}{\partial t} = -\Gamma \frac{\partial u}{\partial t} \end{cases}$$

où on a déf. Λ et Γ l'inductance et la capacité du câble coax. par unité de longueur.

- On obtient donc 2 eqns couplées qui lient les dérivées temporelles premières d'1 variable aux dérivées premières spatiales de l'autre variable.
- On peut, en les combinant, obtenir 1 eqn sur 1 seule variable, mais qui fait intervenir les dérivées d'ordre 2 partielles de tps & d'espace:

$$\frac{\partial^2 u}{\partial x^2} = -\Lambda \frac{\partial^2 i}{\partial x \partial t} = \Lambda \Gamma \frac{\partial^2 u}{\partial t^2}$$

$$\rightarrow \boxed{\frac{\partial^2 u}{\partial x^2} - \frac{1}{c^2} \frac{\partial^2 u}{\partial t^2} = 0} \quad \text{— idem pour } i$$

avec $c = \frac{1}{\sqrt{\Lambda \Gamma}}$

↳ eqn de D'Alembert ou EOC

c) Energie transportée

- En combinant les 2 eqns, on peut aussi trouver

$$\begin{aligned} \bar{q} : \quad \Gamma u \frac{\partial u}{\partial t} + \Lambda i \frac{\partial i}{\partial t} &= -u \frac{\partial i}{\partial x} - i \frac{\partial u}{\partial x} \\ &= -\frac{\partial}{\partial x} (ui) \end{aligned}$$

Énergie stockée par effet capa

$$\boxed{\frac{\partial}{\partial t} \left(\frac{1}{2} \Gamma u^2 + \frac{1}{2} \Lambda i^2 \right) + \frac{\partial}{\partial x} (ui) = 0}$$

Énergie stockée par effet inductif

- On retrouve la conservation de l'énergie expr avec

$$\boxed{\begin{aligned} \mathcal{E} &= \frac{1}{2} \Gamma u^2 + \frac{1}{2} \Lambda i^2 \\ \Pi &= ui \end{aligned}}$$

: densité d'énergie

: puissance transportée

2) Onde à partir d'1 eqn CONT

a) Descript

PB: on pourrait aussi traiter l'eq de vide.

- On veut maintenant décrire les ondes acoustiq de 1 fluide.
- PBM complexe: \rightarrow variables \vec{v}, ρ, T, p
 \rightarrow eqns: NS, incompressibilité, 1^{er} ppe de la Ad
 \Rightarrow il manqu 1 eqn (eqn d'état @) relat constitutive du fluide)
- On va se placer ds le cas de l'approx. acoustiq pour décrire ce PBM.

① OS que 'on peut décrire le fluide comme 1 milieu CONT, i.e. l'onde ne voit pas le détail des constituants, notamment leur mvmt individuel

$$\lambda \gg l_{pm} \Rightarrow \boxed{f \ll \frac{c}{l_{pm}}}$$

OdG: $c = 340 \text{ m/s}$

$$l_{pm} \approx \frac{1}{n\sigma} \approx \frac{k_B T}{\pi d^2 p} \approx 0.1 \mu\text{m} \quad \text{Ja } f \ll 3 \text{ GHz}$$

↑ densité gaz de sphères ϕ interactif + néglige l'effet de volume

↑ T_{amb}
 P_{amb}

red efficace de collisions

\Rightarrow OK pour l'audible [20 Hz, 20 kHz] de des CNTP.

\rightarrow on va pouvoir considérer des part. de fluide

de taille microscopique t. q. $\boxed{l_{pm} \ll l \ll \lambda}$.

- ② On étudie le fluide ds l'inf. galiléen ds lequel le fluide est au repos!
- ③ On néglige l'influence de la pesanteur
- ④ On se place à l'eq. Δd local (ETL) de sorte qu'en tout déf. à chaque instant des grandeurs Δd locales (T , etc.) et t. q. la pression dynamique = la pression Δd .

La cela revient à dire q. le tps τ_μ de relaxation interne ds la part. de fluide est \ll devant la période T de l'onde.

La on va pouvoir lier les grandeurs ds le tps sur l'échelle τ t. q. $\boxed{\tau_\mu \ll \tau \ll T}$.

- ⑤ OS q. l'évolution des part. de fluide est isentropique, i.e. adiabatique à rév., et en part. quasi-statique

La OU pour OS (voir pt précédent)

La pour q. se soit adiabatique, il faut négliger les échanges Δ par diffusion entre part. de fluide, ce qui revient à considérer q. le tps de diffusion sur l'échelle de l'onde de λ est \ll devant

la période de l'onde.

(pas de connecteur car on va étudier l' phénomène oscillatoire, qui comme on le verra ④ correspond à ϕ transport macro de matière).

$$\hookrightarrow \frac{d^2}{D} \gg T \quad \Leftrightarrow \quad \frac{cd}{D} \gg 1$$

$$\Leftrightarrow \quad \lambda \gg \frac{D}{c} \quad \text{⑤}$$

$$\boxed{f \ll \frac{c^2}{D}}$$

OdG: $D = 10^{-5} \text{ m}^2 \cdot \text{s}^{-1}$

$$\hookrightarrow f \ll 10^{10} \text{ Hz}$$

La pour q se voit rév., il faut négliger toutes les sources d'év.: diffusion Δ (déjà vu), diffusion de q de mat (viscosité)

$$\hookrightarrow \frac{d^2}{\nu} \gg T \quad \Leftrightarrow \quad \boxed{f \ll \frac{c^2}{\nu}}$$

avec ν : viscosité cinématique

OdG: comme la diffusion Δ .

⑥ En envoi de petites perturbations autour de l'état de repos: on pourra linéariser les eqns.

$$\left\{ \begin{array}{l} \vec{v}(\vec{r}, t) \text{ avec } |\vec{v}| \ll c \\ P(\vec{r}, t) = P_0 + p(\vec{r}, t) \\ \rho(\vec{r}, t) = \rho_0 + \mu(\vec{r}, t) \end{array} \right. \begin{array}{l} \text{suppression} \\ \text{acoustiq} \\ |p| \ll P_0 \\ |\mu| \ll \rho_0 \end{array}$$

• Req: en fait 1 approx BF.

b) Navier en eqn

$$\left\{ \begin{array}{l} \frac{\partial \rho}{\partial t} + \vec{\nabla} \cdot (\rho \vec{v}) = 0 \\ \rho \left[\frac{\partial \vec{v}}{\partial t} + (\vec{v} \cdot \vec{\nabla}) \vec{v} \right] = -\vec{\nabla} P \end{array} \right.$$

• Ordre 0:
$$\left\{ \begin{array}{l} \frac{\partial \rho_0}{\partial t} = 0 \\ \vec{\nabla} P_0 = \vec{0} \end{array} \right.$$

• Ordre 1:
$$\left\{ \begin{array}{l} \frac{\partial \mu}{\partial t} + \vec{\nabla} \cdot (\rho_0 \vec{v}) = 0 \\ \rho_0 \frac{\partial \vec{v}}{\partial t} = -\vec{\nabla} P \end{array} \right.$$

$$\left\{ \begin{array}{l} \frac{\partial \mu}{\partial t} + \rho_0 \vec{\nabla} \cdot \vec{v} = 0 \\ \rho_0 \frac{\partial \vec{v}}{\partial t} = -\vec{\nabla} P \end{array} \right.$$

• Il faut maintenant relier p à μ à partir de la compressibilité isentropique:

$$\chi_s = -\frac{1}{V} \frac{\partial V}{\partial P} \Big|_s = -\rho \frac{\partial (1/\rho)}{\partial P} \Big|_s = \frac{1}{\rho} \frac{\partial \rho}{\partial P} \Big|_s$$

Si on fait 1DL au premier ordre alors

$$\frac{\partial p}{\partial p} = \frac{\partial \mu}{\partial p} \approx \frac{\mu}{p} \text{ car } \mu = 0 \text{ qd } p = 0$$

$$\Rightarrow \mu = \rho_0 \chi_s p$$

$$\rightarrow \begin{cases} \chi_s \frac{\partial p}{\partial t} + \vec{\nabla} \cdot \vec{v} = 0 \\ \rho_0 \frac{\partial \vec{v}}{\partial t} = -\vec{\nabla} p \end{cases} \Leftrightarrow \boxed{\begin{cases} \frac{\partial p}{\partial t} = -\frac{1}{\chi_s} \vec{\nabla} \cdot \vec{v} \\ \frac{\partial \vec{v}}{\partial t} = -\frac{1}{\rho_0} \vec{\nabla} p \end{cases}}$$

→ on retrouve les 2 eqns qui lient dérivées temp. & spatiales des variables couplées.

On peut là encore combiner les 2 eqns pour obtenir 1 eqn pour chq variable seule:

$$\frac{\partial^2 \vec{v}}{\partial t^2} = -\frac{1}{\rho_0} \frac{\partial \vec{\nabla} p}{\partial t} = -\frac{1}{\rho_0} \vec{\nabla} \left(\frac{\partial p}{\partial t} \right) = -\frac{1}{\rho_0} \vec{\nabla} (\vec{\nabla} \cdot \vec{v})$$

$$\Rightarrow \frac{\partial^2 \vec{v}}{\partial t^2} = -\frac{1}{\rho_0 \chi_s} (\Delta \vec{v} + \vec{\nabla} \times (\vec{\nabla} \times \vec{v}))$$

$$\text{car } \frac{\partial \vec{\nabla} \times \vec{v}}{\partial t} = \vec{0} \text{ car } \frac{\partial \vec{v}}{\partial t} = -\frac{1}{\rho_0} \vec{\nabla} p \Rightarrow \vec{\nabla} \times \vec{v} = \vec{0} \text{ (état de repos)}$$

$$\Rightarrow \boxed{\Delta \vec{v} - \frac{1}{c^2} \frac{\partial^2 \vec{v}}{\partial t^2} = 0 \text{ où } c = \frac{1}{\sqrt{\rho_0 \chi_s}}}$$

- On trouve pareil pour $p \rightarrow$ EOC @
eqn de D'Alembert.

c) Énergie transportée

- L'énergie totale d'un élément δV de volume est la Σ des énergies cinétique, potentielle et interne:

$$\delta E = \delta E_c + \delta E_p + \delta U = \frac{1}{2} \rho \vec{v}^2 \delta V_i + \delta U$$

$= 0$

- Identité Δd pour 1 transp riv.

$$d\delta U = -P d\delta V \quad \triangle d \neq \delta$$

↑ *variable*
↑ *q'te petite*

où la part. de fluide passe de $(\delta V, P) = (\delta V_i, P_0)$
à $(\delta V, P) = (\delta V_f, P_0 + p)$ au fait du passage de l'onde.

donc $\delta U = \delta U_i - \int_{\delta V_i}^{\delta V} P(\delta V') d\delta V'$

où $P = P_0 + p$ est $\chi_s = -\frac{1}{\delta V} \frac{\partial \delta V}{\partial P}$

$$\Rightarrow \delta V' \approx \delta V_i (1 - \chi_s p')$$

donc $d\delta V' = -\delta V_i \chi_s dp'$

$$\Rightarrow \delta U = \delta U_i + P_0 [\delta V - \delta V_i] + \int_0^P \delta V_i \chi_s p' dp'$$

$$\delta U = \delta U_i - P_0 [\delta V_j - \delta V_i] - \frac{1}{2} \delta V_i \chi_s P^2$$

$$\hookrightarrow \frac{\delta E}{\delta V_i} = \frac{1}{2} \rho \vec{v}^2 + \frac{\delta U_i}{\delta V_i} + P_0 \chi_s P + \frac{1}{2} \chi_s P^2$$

Bonc pour 1 vol. qqqt, on a:

$$E = \iiint_V dV \left\{ \frac{1}{2} \rho \vec{v}^2 + P_0 \chi_s P + \frac{1}{2} \chi_s P^2 \right\} + \text{cte}$$

• On doit maintenant décrire comment varie cette énergie au cours du tps. Pour cela, on appliq le 1^{er} ppe de la Δd en évalue Q_s rév. adiabatiq:

$$dE = \delta W_p = - \oint P \vec{v} \cdot d\vec{S} dt$$

$$\hookrightarrow \frac{dE}{dt} = - \oint_{\partial V} P \vec{v} \cdot d\vec{S} = - P_0 \oint_{\partial V} \vec{v} \cdot d\vec{S} - \oint_{\partial V} P \frac{\partial \vec{v}}{\partial t} \cdot d\vec{S}$$

$$\text{Or } \oint_{\partial V} \vec{v} \cdot d\vec{S} = \iiint_V \vec{\nabla} \cdot \vec{v} dV = - \frac{1}{\rho_0} \iiint_V \frac{\partial \rho}{\partial t} dV$$

Th. de Green
Ostrogradski

$$= - \frac{d}{dt} \iiint_V \chi_s P dV$$

$$\Rightarrow \frac{d}{dt} \iiint_V dV \left\{ \frac{1}{2} \rho \vec{v}^2 + \frac{1}{2} \chi_s P^2 \right\} + \oint_{\partial V} P \vec{v} \cdot d\vec{S} = 0$$

↳ bilan global d'énergie

- Cette relat se réécrit localement sous la forme:

$$\frac{\partial \mathcal{E}}{\partial t} + \vec{\nabla} \cdot \vec{\Pi} = 0$$

énergie de compression

où $\mathcal{E} = \frac{1}{2} \rho \vec{v}^2 + \frac{1}{2} \chi_s p^2$: densité vol. d'énergie

$\vec{\Pi} = p \vec{v}$: puissance transportée (vecteur de Poynting acoustiq)

énergie cinétique

RD1: Parfois, on parle d'énergie potentielle de compression par analogie avec les chaînes de ressorts ou de pistons.

RD2: on aurait pu retrouver ce résultat par l'analogie élec | méca:

$$\left\{ \begin{array}{l} u \leftrightarrow p \\ i \leftrightarrow \vec{v} \end{array} \right. + \text{couplage} \quad \left\{ \begin{array}{l} \Lambda_c \leftrightarrow \rho_0 \\ \Gamma \leftrightarrow \chi_s \end{array} \right.$$

3) Généralités sur les ondes

a) Déf. d'l phénomène ondulatoire

- On résume les ppts mises en évidence à partir

des exles précédents.

① C'est la propagation d'une perturbation de proche en proche avec transport d'énergie et sans transport macro. de matière.

② Il s'agit du couplage de l'oscillation d'une 2 grandeurs φ représentées par des chps (scalaires \odot ou vectoriels, i.e. des f° de l'espace α du tps).

③ Ce couplage se traduit par l'existence de plusieurs eqns reliant les dérivées partielles des grandeurs couplées.

④ En combinant les eqns de couplage, on obtient deux eqs pour chq variable qui couplent les dérivées d'espace α de tps: on parle d'eqn d'onde. Cette eqn d'onde dépend du phénomène vibratoire considéré (acoustiq, eq, élasticité, etc.), ainsi q du milieu de propagation.

⑤ La densité vol. d'énergie transportée est la Σ de termes quadratiq en les grandeurs couplées.

⑥ La puissance transportée par unité de su

force (vecteur de l'oscillation) est prop. au produit des grandeurs couplées.

RR: les faits ①-④ sont valables pour tous les phénomènes ondulatoires. Par contre, les points ⑤ et ⑥ ne sont valables q'pour certaines équations d'onde (ex: D'Alembert, télégraphistes)

RR 2: Est-ce q' l'eqn de la chaleur est l'eqn d'onde?

La pas de réponse absolue mais en tt cas, elle décrit le couplage entre \vec{j}_Q et ΔT

RR 3: ① → cela interdit de définir l'écoulement dirigé comme l'onde.

Par contre, cela pose le PBN de l'eqn. de Schrödinger. Il s'agit donc de la def. classique d'onde.

b) Caractéristiq d'onde

- On peut définir l'écoulement même de caractéristiq d'onde.
- Onde scalaire / vectorielle: on parle d'onde scalaire qd les grandeurs transportées

sont scalaires - Sinon, on parle d'onde vectorielle.

• Onde longitudinale / transverse: « on parle d'onde longitudinale qd la vibration / perturbation se fait // à la direction de propagation de l'onde.

ex: ondes de compression ds l fluide

« on parle d'onde transverse qd la vibration se fait \perp à la direction de propagation

ex: ondes électromagnétiques ds le câble coax.

« il existe aussi des cas hybrides.

• Surface d'onde: il s'agit d'une surface cont (ϕ traces) de l'espace où l'état vibratoire est le même en tout pt à l'instant t donné.

ex: « plans d'onde \perp à la direction de propagation \rightarrow onde plane

« sphères concentriques \rightarrow onde sphérique

Rq: « Cela diffère de la déf. donnée en optiq des surfaces d'onde qui sont des surfaces équi-phases.

* Cette déf. n'est pas parfaite car elle ne décrit pas la surface du cas gal, mais une courbe.

Les 2 eqns pour l'amplitude & la phase

II. ONDES PROGRESSIVES DANS DES MILIEUX SIMPLES

1) Pptés de l'EOC

• Pour des phénomènes vibratoires chariq de des milieux simples, les grandeurs oscillantes vérifient l'eqn de D'Alembert

② EOC:

$$\Delta A - \frac{1}{c^2} \frac{\partial^2 A}{\partial t^2} = 0$$

- Pptés:
- ① C'est l'eqn linéaire: on peut donc utiliser le ppe de superposition & l'analyse harmoniq.
 - ② Elle est invariante par la transfo. $t \rightarrow -t$: traduit

1 phénomène rev. (ϕ de dissipation)

③ Elle est invariante par translation de l'espace $\vec{x} \rightarrow \vec{x} + \vec{d}$: traduit l'milieu homogène.

④ Elle est invariante par rotation de l'espace $\vec{x} \rightarrow R\vec{x}$ où R est la matrice de rotation de $SO(3)$: traduit l'milieu isotrope.

(en effet si $\vec{x}' = R\vec{x}$ alors $R^{-1} = {}^tR$ alors

$$\frac{\partial}{\partial x'_i} = \frac{\partial}{\partial x_j} \frac{\partial x_j}{\partial x'_i} = R_{ij} \frac{\partial}{\partial x_j} \quad \text{car } x'_i = R_{ij} x_j$$

formule de la chaîne

$\Leftrightarrow x_i = R_{ji} x'_j$

$$\Rightarrow \frac{\partial^2}{\partial x'_i \partial x'_i} = \underbrace{R_{ij} R_{ik}}_{R_{ij} ({}^tR)_{ki}} \frac{\partial^2}{\partial x_j \partial x_k} = \frac{\partial^2}{\partial x_j \partial x_j}$$

δ_{jk}

⑤ Elle est invariante par translation de la tps $t \rightarrow t + \tau$: cela traduit l'milieu qui ne vieillit pas.

⑥ Elle n'est pas invariante
par transformations de Galilée

$$\begin{cases} x' = x - vt \\ t' = t \end{cases}$$

La pour les ondes acoustiques, etc., cela traduit l'existence d'un réf. privilégié, celui où le milieu de propagation est globalement au repos.

La pour les ondes em , cela traduit le fait que l' em est l'histoire relativiste.

(en effet à 1D $\frac{\partial}{\partial x} = \frac{\partial}{\partial x'} \frac{\partial x'}{\partial x} + \frac{\partial}{\partial t'} \frac{\partial t'}{\partial x}$

$\underbrace{\frac{\partial x'}{\partial x}}_{=1} + \frac{\partial t'}{\partial x} = 0$

$$= \frac{\partial}{\partial x'}$$

et $\frac{\partial}{\partial t} = \frac{\partial}{\partial x'} \frac{\partial x'}{\partial t} + \frac{\partial}{\partial t'} \frac{\partial t'}{\partial t}$

$\underbrace{\frac{\partial x'}{\partial t}}_{=-v} + \frac{\partial t'}{\partial t} = 1$

$$\frac{\partial}{\partial t} = \frac{\partial}{\partial t'} - v \frac{\partial}{\partial x'}$$

$$\Rightarrow \frac{\partial^2 A}{\partial x^2} - \frac{1}{c^2} \frac{\partial^2 A}{\partial t^2} = \frac{\partial^2 A}{\partial x'^2} - \frac{1}{c^2} \frac{\partial^2 A}{\partial t'^2} - \frac{2v}{c^2} \frac{\partial^2 A}{\partial t' \partial x'} + \frac{v^2}{c^2} \frac{\partial^2 A}{\partial x'^2}$$

⑦ Elle est invariante par transfo. de Lorentz

$$\left\{ \begin{array}{l} x' = \gamma(x - \beta ct) \\ t' = \gamma(t - \beta \frac{x}{c}) \end{array} \right.$$

$$\beta = \frac{v}{c} < 1$$

$$\gamma = \frac{1}{\sqrt{1 - v^2/c^2}}$$

↳ cf pt précédent.

En effet, à ID

$$\frac{\partial}{\partial x} = \frac{\partial}{\partial x'} \frac{\partial x'}{\partial x} + \frac{\partial}{\partial t'} \frac{\partial t'}{\partial x}$$

$$\Rightarrow \frac{\partial}{\partial x} = \gamma \frac{\partial}{\partial x'} - \beta \frac{\gamma}{c} \frac{\partial}{\partial t'}$$

$$\text{or } \frac{\partial}{\partial t} = \frac{\partial}{\partial x'} \frac{\partial x'}{\partial t} + \frac{\partial}{\partial t'} \frac{\partial t'}{\partial t}$$

$$= -\gamma \beta c \frac{\partial}{\partial x'} + \gamma \frac{\partial}{\partial t'}$$

$$\hookrightarrow \frac{\partial^2 A}{\partial x^2} - \frac{1}{c^2} \frac{\partial^2 A}{\partial t^2} = \gamma^2 \frac{\partial^2 A}{\partial x'^2} - 2\gamma^2 \frac{\beta}{c} \frac{\partial^2 A}{\partial x' \partial t'}$$

$$+ \beta^2 \frac{\gamma^2}{c^2} \frac{\partial^2 A}{\partial t'^2} - \gamma^2 \beta^2 \frac{\partial^2 A}{\partial x'^2}$$

$$+ 2\gamma^2 \frac{\beta}{c} \frac{\partial^2 A}{\partial x' \partial t'} - \frac{\gamma^2}{c^2} \frac{\partial^2 A}{\partial t'^2}$$

$$= \gamma^2 (1 - \beta^2) \frac{\partial^2 A}{\partial x'^2} - \frac{\gamma^2}{c^2} (1 - \beta^2) \frac{\partial^2 A}{\partial t'^2}$$

$$= \frac{\partial^2 A}{\partial x'^2} - \frac{1}{c^2} \frac{\partial^2 A}{\partial t'^2} \quad \text{car } \gamma^2 = \frac{1}{1 - \beta^2}$$

⑧ EDP hyperbolique: permet d'utiliser

la méthode des caractéristiques
pour la résoudre.

RQ 1: Cas de l'éqn de la chaleur: $\frac{\partial T}{\partial t} = D \Delta T$

↳ on a tjrs l'invariance par translation & rotation
de l'espace, mais la transformation par renver-
sem^t du tps ne laisse plus invariante l'éqn
d'onde: cela traduit l'irréversibilité du
processus de diffusion Δ

RQ 2: Eqn de Schrödinger $i\hbar \frac{\partial \Psi}{\partial t} = -\frac{\hbar^2}{2m} \Delta \Psi + V \Psi$

↳ si $t \rightarrow t' = -t$ alors $-i\hbar \frac{\partial \Psi}{\partial t'} = -\frac{\hbar^2}{2m} \Delta \Psi + V \Psi$

↳ $i\hbar \frac{\partial \Psi^*}{\partial t'} = -\frac{\hbar^2}{2m} \Delta \Psi^* + V \Psi^*$

et cela revient à changer Ψ en Ψ^* , laissant
inchangée la distrib^{tion} de proba $\rho = |\Psi|^2$
→ l'éqn de Schrödinger décrit l'évolution rev.
(évolution d'un part. massive de l'op d'énergie
potentielle).

2) Ondes planes

a) Cas gal

• On commence par chercher des sol^{utions} en

ondes planes, i.e., dont l'état vibratoire ne dépend q̄ de la coordonnée normale aux plans: A(x,t).

• On doit résoudre: $\frac{\partial^2 A}{\partial x^2} - \frac{1}{c^2} \frac{\partial^2 A}{\partial t^2} = 0$,

qui on peut réécrire sous la forme

$$\left(\frac{\partial}{\partial x} + \frac{1}{c} \frac{\partial}{\partial t} \right) \left(\frac{\partial}{\partial x} - \frac{1}{c} \frac{\partial}{\partial t} \right) A = 0$$

(méthode des caractéristiques pour la résolution d'1 EDP).

• Cela suggère de déf. 2 variables auxiliaires ξ et η .

$$\begin{cases} \xi = x - ct \\ \eta = x + ct \end{cases} \quad \text{et} \quad A(\xi, \eta) = A(x, t)$$

$$\cdot \text{ Alors } \frac{\partial A}{\partial x} = \frac{\partial A}{\partial \xi} \frac{\partial \xi}{\partial x} + \frac{\partial A}{\partial \eta} \frac{\partial \eta}{\partial x} = \frac{\partial A}{\partial \xi} + \frac{\partial A}{\partial \eta}$$

$$\text{et } \frac{\partial A}{\partial t} = c \left[\frac{\partial A}{\partial \eta} - \frac{\partial A}{\partial \xi} \right]$$

Donc
$$\frac{\partial^2 A}{\partial x^2} = \frac{\partial}{\partial \xi} \left(\frac{\partial A}{\partial x} \right) + \frac{\partial}{\partial \eta} \left(\frac{\partial A}{\partial x} \right)$$

$$= \frac{\partial^2 A}{\partial \xi^2} + 2 \frac{\partial^2 A}{\partial \xi \partial \eta} + \frac{\partial^2 A}{\partial \eta^2}$$

or
$$\frac{\partial^2 A}{\partial t^2} = c^2 \left[\frac{\partial^2 A}{\partial \eta^2} - 2 \frac{\partial^2 A}{\partial \xi \partial \eta} + \frac{\partial^2 A}{\partial \xi^2} \right]$$

Donc A est sol.ssi
$$\boxed{\frac{\partial^2 A}{\partial \xi \partial \eta} = 0}$$

↳ Cela s'intègre 1 première fois:

$$\frac{\partial A}{\partial \xi} = f(\xi) \text{ où } f \text{ est 1}^{\circ} \text{ qcq}$$

puis 1 seconde fois:

$$A(\xi, \eta) = F(\xi) + G(\eta) \text{ où } F \text{ est 1 primitive de } f \text{ et } G \text{ 1}^{\circ} \text{ qcq.}$$

• CCL: Toute sol^o en onde plane de l'eqn de D'Alembert (et à fortiori en 1 seule dim. d'espace) s'écrit sous la forme:

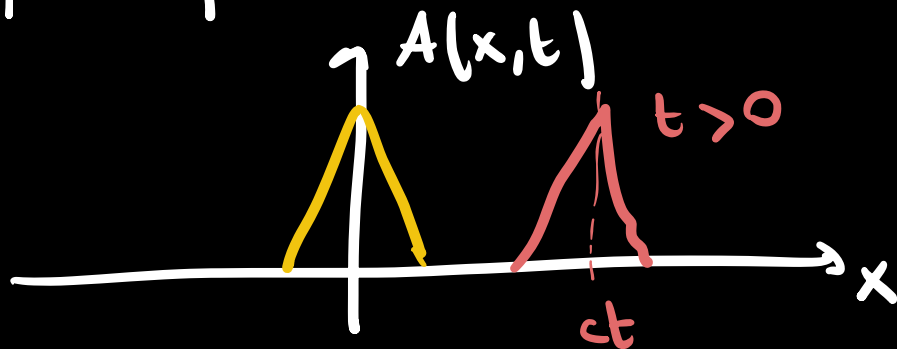
$$A(x, t) = F(x - ct) + G(x + ct)$$

où F, G sont des f^o qcqs.

$F(x-ct)$: onde plane progressiva (OPP⁺)

$G(x+ct)$: onde plane regressiva (OPP⁻)

• Interpretation ψ : * Pour l'OPP⁺, l'état vibratoire ne dépend q de $x-ct$. DONC:



→ cela traduit la propagation ϕ de l'onde à la vitesse c dans le sens des x ↗

* Pour l'OPP⁻, la propagation se fait dans le sens des x ↘.

• RQ: les OPP[±] sont la traduction de la méthode des caractéristiques en mathématique pour résoudre l'EDP.

b) ondes planes progressives sinusoïdales

• On s'intéresse maintenant à l'CP d'OPP t.q la dépendance en $x \pm ct$ est sinusoïdale

La OPPS @ @OPPH @ @OPPM

$$A(x,t) = A_0 \cos(\omega t - kx + \varphi)$$

amplitude

pulsat

φ à l'origine
vecteur
d'onde

où

$$\frac{\omega}{k} = \pm c$$

OPP \pm



à priori 2 branches

Commentaires: 1) On peut également préférer la notation complexe

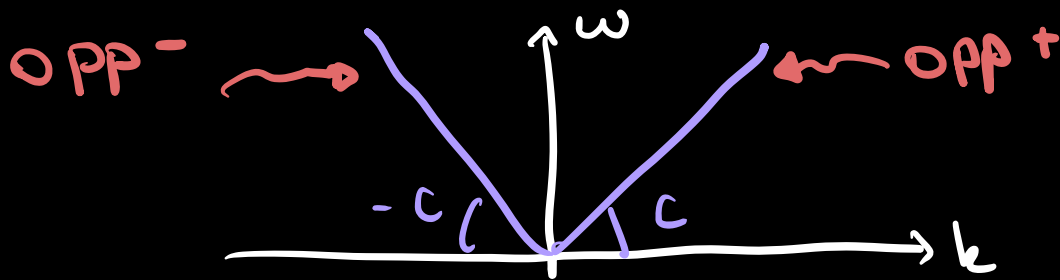
$$\underline{A}(x,t) = \underline{A}_0 e^{i(\omega t - kx)} \quad (2A = \underline{A} + \text{c.c.})$$

où $\underline{A}_0 = A_0 e^{i\varphi}$

amplitude
complexe

complexe
conjugué

- 2) Considérer des OPPS est particulièrement utile dans le cas d'une EDP linéaire car la sol^o peut alors s'écrire comme la superposition d'OPPS sol^o (TF): il s'agit d'une base de sol.
- 3) La relation entre k et ω pour les OPPS s'appelle relation de dispersion (cf chap. II).



4) $\frac{\omega}{k} = \pm c = v_p$: v_p s'appelle la vitesses de P (cf. Chap II) et ne dépend pas de k ou ω : on dit q' la propagation est non dispersive.

5) les OPPS présentent double périodicité spatiale et temp:

- période spatiale $\lambda = \frac{2\pi}{k}$ (longueur d'onde)

- période temporelle $T = \frac{2\pi}{\omega}$

- fréq. spatiale $\sigma = \frac{1}{\lambda} = \frac{k}{2\pi}$ (nombre d'onde)

- fréq. temporelle $\nu = \frac{1}{T} = \frac{\omega}{2\pi}$

6) On peut tout généraliser à 3D, i.e.

$$\left\{ \begin{array}{l} A(\vec{r}, t) = A_0 \cos(\omega t - \vec{k} \cdot \vec{r} + \varphi) \\ \omega = |\vec{k}|c \quad \Leftrightarrow \quad \vec{k} = \frac{\omega}{c} \vec{n} \end{array} \right.$$

\vec{n} désigne le vecteur unitaire dans

la durée de propagation.

c) Noeud de paquet d'onde

• Nous avons obtenu l'ens. de sol^o propagative de l'ECC, à savoir les OAPS.

La par linéarité, on peut chercher lte sol^o de l'eqn d'onde sous la forme d'un superposition des OAPS sol^o : on parle de paquet d'onde.

$$A(x,t) = \int_{-\infty}^{+\infty} \frac{dk}{2\pi} a(k) e^{i(\omega(k)t - kx)}$$

$$\text{ou } \omega(k) = kc$$

"interférences d'une multitude d'OAPS"

La condition $A(x,t)$ réel est facilement obtenue en prenant $a(k)$ à sym. hermitienne, i.e.

$$a(-k) = a(k)^*$$

c.c.

• Motiv^o: || OAPS est l'onde extension spatiale & temporelle ∞ , son énergie intégrée sur tout l'espace est donc ∞ .

↳ Les signaux φ ont l'énergie finie
donc l'extension spatiale & temporelle
finies.

2) Pourquoi ne pas avoir fait l'aperçu
discrète d'OPPS? Tout simplement car cela
donne encore l signal d'extension spatiale
& temporelle.

• CC1: Un paquet d'onde est l signal φ
localisé ds le tps & ds l'espace et
obtenue par l'aperçu CONT d'OPPS.

↳ En effet, si en Σ des OPPS

$$A_m(x,t) = A_0 \cos(\omega_m t - k_m x)$$

où $\omega_m = \omega_0 + m\delta\omega$ et $k_m = \frac{\omega_m}{c} = k_0 + m\delta k$

[Code Python

En particulier, on voit q le signal est tps
d'extension spatiale ou temp. &. On

voit des "burst" dont la largeur est
prop. à $\frac{1}{N\delta\omega}$ et dont la périodicité est
donnée par $1/\delta\omega$ (cf formule des réseaux)

• Mathématiquement:

$$A(x, t) = \sum_{m=0}^N A_0 e^{i(\omega_m t - k_m x)}$$

$$= A_0 e^{i(\omega_0 t - k_0 x)} \sum_{m=0}^N e^{i m (\delta \omega t - \delta k x)}$$

$$= A_0 e^{i(\omega_0 t - k_0 x)} \frac{1 - e^{i(N+1)(\delta \omega t - \delta k x)}}{1 - e^{i(\delta \omega t - \delta k x)}}$$

$$A(x, t) = A_0 e^{i(\omega_0 + \frac{N}{2} \delta \omega)(t - x/c)} \frac{\sin\left(\frac{N+1}{2} \delta \omega (t - x/c)\right)}{\sin\left(\frac{\delta \omega}{2} (t - x/c)\right)}$$

La période de l'amplitude est alors $\lambda = \frac{\pi}{\delta k}$

soit $\lambda = \frac{2\pi c}{\delta \omega} = \frac{2\pi}{\delta k}$ et la largeur des

bandes est $\Delta x \approx \frac{\pi}{(N+1)\delta \omega / 2c} = \frac{2\pi c}{(N+1)\delta \omega} = \frac{2\pi}{(N+1)\delta k}$

\Rightarrow Pour avoir le paquet d'onde, il faut l'onde non périodique et d'extension spatiale $< \infty$, ce qui impose

$$\left\{ \begin{array}{l} \delta \omega \rightarrow 0 \\ N \delta \omega < \infty \end{array} \right. \Rightarrow \left\{ \begin{array}{l} \delta \omega \rightarrow 0 \\ N \rightarrow +\infty \end{array} \right.$$

On en doit donc dépasser la limite d'OPPS ($N \rightarrow +\infty$) dont la pulsation varie CONT ($\delta \omega \rightarrow 0$).

- On obtient également \bar{q} de ce cas, on a :

$$\Delta x \approx \frac{1}{(N+1)\Delta k} \approx \frac{1}{\Delta k}, \text{ soit}$$

$$\left\{ \begin{array}{l} \Delta x \Delta k \approx 1 \\ \Delta t \Delta \omega \approx 1 \end{array} \right.$$

⊕ 1 paquet d'onde est localisé, ⊕ il a 1 spectre large.

- Énoncé rigoureux du "pe d'indétermination de Heisenberg" :

$$\left\{ \begin{array}{l} \Delta x \Delta k \geq \frac{1}{2} \\ \Delta t \Delta \omega \geq \frac{1}{2} \end{array} \right.$$

où $\Delta k^2 = [k^2] - [k]^2$ avec

$$[k^2] = \frac{\int_{-\infty}^{+\infty} \frac{dk}{2\pi} k^2 |a(k)|^2}{\int_{-\infty}^{+\infty} \frac{dk}{2\pi} |a(k)|^2}$$

$$\text{et } [k] = \frac{\int_{-\infty}^{+\infty} \frac{dk}{2\pi} k |a(k)|^2}{\int_{-\infty}^{+\infty} \frac{dk}{2\pi} |a(k)|^2}$$

et pareillem^r pour X .

- la f^o $a(k)$ est alors déterminée par les CI,
i.e. par $A(x, 0)$.

$$\hookrightarrow A(x, 0) = \int_{-\infty}^{+\infty} \frac{dk}{2\pi} a(k) e^{-ikx}$$

ou encore $a(k) = \text{TF}[A(x, 0)]$

- De \textcircled{D} , en utilisant le fait q^u $\omega(k) = |k|c$, on

trouve: $A(x, t) = \int_0^{+\infty} \frac{dk}{2\pi} a(k) e^{ik(ct-x)}$

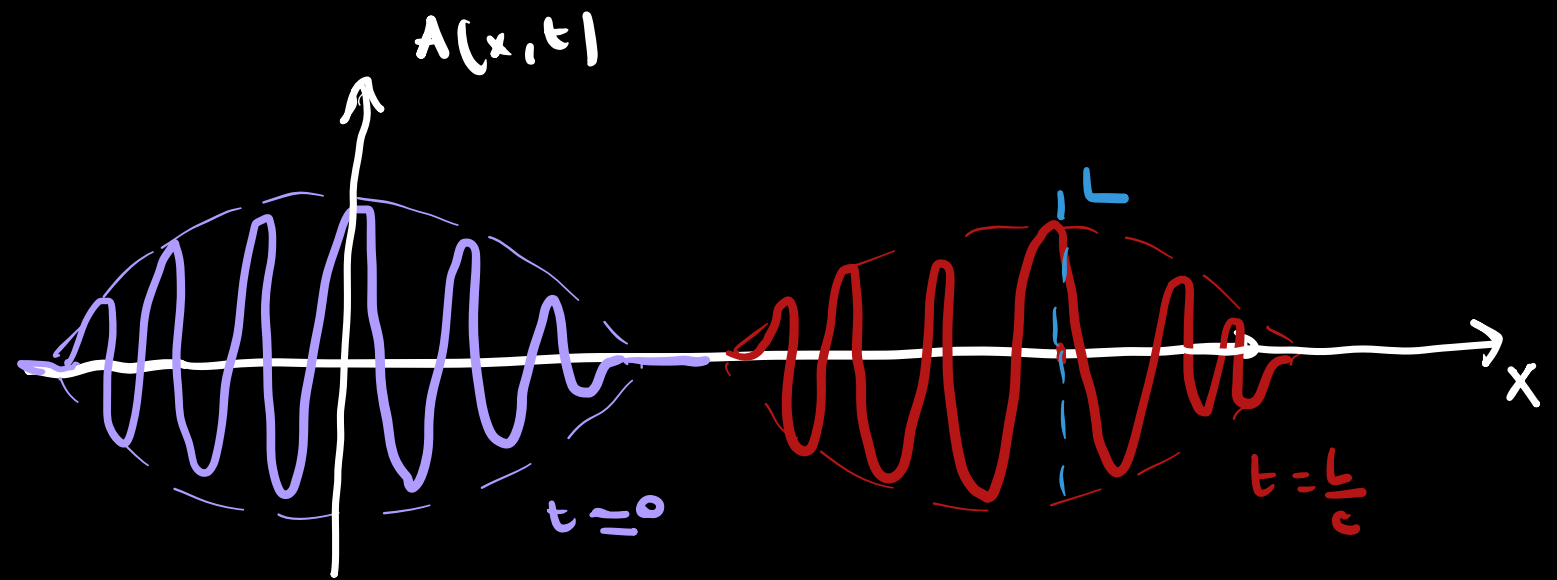
$$+ \int_{-\infty}^0 \frac{dk}{2\pi} a(k) e^{-ik(ct+x)}$$

ou encore

$$A(x, t) = \underbrace{A_+(x-ct)}_{\text{OPP}^+} + \underbrace{A_-(x+ct)}_{\text{OPP}^-}$$

qui se propage (idem)
 \emptyset se déforme

- On retrouve le résultat énoncé \textcircled{D} haut sur les sol^o de l'éqn de D'Alembert.



3) Ondes sphériques

- On peut également chercher des sol^o en ondes sphériques, i.e. t.q. $A(\vec{r}, t) = A(r, t)$ en coordonnées sphériques.
- Cela revient à résoudre l'éqn:

$$\frac{1}{r} \frac{\partial^2}{\partial r^2} (rA) - \frac{1}{c^2} \frac{\partial^2 A}{\partial t^2} = 0$$

$$\Leftrightarrow \boxed{\frac{\partial^2}{\partial r^2} (rA) - \frac{1}{c^2} \frac{\partial^2}{\partial t^2} (rA) = 0}$$

- On est alors ramené au cas précédent.

• CLL: Toute sol^o en onde sphérique de l'éqn de D'Alembert s'écrit sous la forme:

$$A(r, t) = \frac{F(r-ct)}{r} + \frac{G(r+ct)}{r}$$

onde sphérique dv
 (ou) sortante

onde sphérique cv
 (ou) rentrante

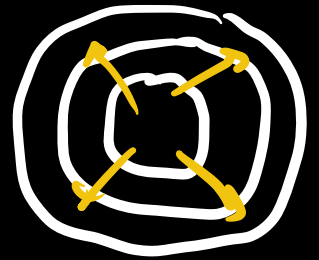
• Q1: $r=0$ est appelé le foyer de l'onde
(ex: source ponctuelle en optiq ou en
acoustiq).

• Q2: L'amplitude de l'onde du en $r=0$

↳ très souvent la décrit linéaire
en termes ondulatoires cesse d'être valable
pas che de l'origine (rayonnant).

• Q3: Il n'existe pas de direct de propagation.

↳ on ne peut parler d'onde
progressive régressive.



• Q4: L'amplitude de l'onde \propto qd $r \uparrow$: on
dit qu'il y a atténuation. Cependant,
cela n'est pas synonyme d'amortisse-
ment, i.e. de perte d'énergie. Ici
l'atténuation est l'effet de la conservation
de l'énergie et de sa distribution sur
des surfaces d'ondes de \oplus en \oplus grandes.

↳ en effet l'énergie ds l'coquille entre
2 surfaces d'onde se conserve tout:

$$E \propto \int d\theta \int d\varphi r^2 \sin\theta d\varphi A(r,t)^2$$

$$\propto 4\pi [A(r,t)r]^2 dr$$

→ cela impose $A \propto 1/r$.

4) Ondes cylindriq

• On cherche des sol^o de l'eqn de D'Alembert dont les surfaces d'onde ont l'ym. de révolution, i.e. qui dépendent de ρ en coordonnées cylindriq.

↳ l'état vibratoire ne dépend alors q^{ue} de ρ :
les surfaces d'onde sont alors des cylindres de révolution coaxiaux.

• On peut construire les ondes cylindriq à partir des ondes sphériq, en notant q^{ue} $r = \sqrt{\rho^2 + z^2}$, soit:

$$A(\rho, t) = \int_0^{+\infty} \frac{dz}{\sqrt{\rho^2 + z^2}} \left\{ F(\sqrt{\rho^2 + z^2} - ct) + G(\sqrt{\rho^2 + z^2} + ct) \right\}$$

sym $z \rightarrow -z \rightarrow$

On pose $r = \sqrt{\rho^2 + z^2} \Rightarrow dr = z dz / r$

$$\Rightarrow A(\rho, t) = \int_{\rho}^{+\infty} \frac{dr}{\sqrt{r^2 - \rho^2}} F(r - ct) + \int_{\rho}^{+\infty} \frac{dr}{\sqrt{r^2 - \rho^2}} G(r + ct)$$

ou encore en posant $\xi = r \pm ct$:

$$A(r, t) = \int_{r-ct}^{+\infty} \frac{d\xi}{\sqrt{(\xi+ct)^2 - r^2}} F(\xi) + \int_{r+ct}^{+\infty} \frac{d\xi}{\sqrt{(\xi-ct)^2 - r^2}} G(\xi).$$

- Interprétation: On a $G=0$ et q $F(\xi)$ est $\neq 0$ ds l'intervalle $[\xi_1, \xi_2]$.

$$\text{Alors } A(r, t) = \begin{cases} 0 & \text{si } r-ct > \xi_2 \\ \int_{r-ct}^{\xi_2} \frac{d\xi}{\sqrt{(\xi-ct)^2 - r^2}} F(\xi) & \text{si } \xi_1 < r-ct < \xi_2 \\ \int_{\xi_1}^{\xi_2} \frac{d\xi}{\sqrt{(\xi-ct)^2 - r^2}} F(\xi) & \text{si } r-ct < \xi_1 \end{cases}$$

Donc à tps courts, i.e. si $t < \frac{r - \xi_2}{c}$ alors

il n'y a pas de vitesse à la distance radiale r . Donc ce terme correspond à l'onde cylin-
driq sortante.

- De la m manière, le terme \int avec G correspond à l'onde cylin-
driq entrante.

- Pptes: 1) Il n'y a pas de direct de propagation
2) Contrairement aux ondes planes @ sphériques, il y a

1 front avant NAIS pas de front arrière car

$$A(p, t) \Rightarrow \int_{\xi_1}^{\xi_2} \frac{d\xi}{\sqrt{(t-\xi)^2 - p^2}} F(\xi)$$

$$t > \frac{p - \xi_1}{c}$$

$$\sim \frac{1}{t} \int_{\xi_1}^{\xi_2} d\xi F(\xi)$$

$$\sim \frac{1}{t}$$

$A(p, t)$ ne s'annule pas en tps fini à p fixé. devant λ

3) À grandes distances, $A(p, t) \sim \frac{1}{\sqrt{p}}$ pour assurer la conservation de l'énergie (de sorte q $p A(p, t)^2 = \text{cste}$).

$$\Delta A - \frac{1}{c^2} \frac{\partial^2 A}{\partial t^2} = 0$$

On cherche 1 sol^o $A(p, t) = \frac{B(p, t)}{\sqrt{p}}$ qd $p \rightarrow +\infty$

$$\frac{1}{r} \frac{\partial}{\partial r} \left(r \frac{\partial A}{\partial r} \right) - \frac{1}{c^2} \frac{\partial^2 A}{\partial t^2} = 0$$

$$\frac{\partial A}{\partial r} = \frac{1}{\sqrt{r}} \frac{\partial B}{\partial r} - \frac{B}{2r^{3/2}}$$

$$r \frac{\partial A}{\partial r} = \sqrt{r} \frac{\partial B}{\partial r} - \frac{B}{2\sqrt{r}}$$

$$\frac{\partial}{\partial r} \left(r \frac{\partial A}{\partial r} \right) = \sqrt{r} \frac{\partial^2 B}{\partial r^2} + \frac{B}{4r^{3/2}}$$

$$\Rightarrow \frac{1}{\sqrt{r}} \frac{\partial^2 B}{\partial r^2} + \frac{B}{4r^{5/2}} - \frac{1}{c^2} \frac{\partial^2 B}{\partial t^2} \frac{1}{\sqrt{r}} = 0$$

$$\Rightarrow \frac{\partial^2 B}{\partial r^2} + \frac{B}{4r^2} - \frac{1}{c^2} \frac{\partial^2 B}{\partial t^2} = 0.$$

À grandes distances, $\frac{\partial^2 B}{\partial r^2} \sim k^2 B$
 $\gg B/r^2$

$$\Rightarrow \frac{\partial^2 B}{\partial r^2} - \frac{1}{c^2} \frac{\partial^2 B}{\partial t^2} = 0.$$

$$\Rightarrow A(r, t) = \frac{F(r+ct)}{\sqrt{r}} + \frac{G(r-ct)}{\sqrt{r}} \quad \perp$$

5) Relat de structure & impédance propagative

a) Cas de grandeurs complexes scalaires

• 1^{er} exple: OPP⁺ ds 1 câble coax

$$i(x, t) = F(x-ct)$$

$$\text{Alors } \frac{\partial u}{\partial x} = -\Lambda \frac{\partial i}{\partial t} = \Lambda c F'(x-ct) \\ = \sqrt{\frac{\Lambda}{\Gamma}} F'(x-ct)$$

$$\Rightarrow u(x, t) = \sqrt{\frac{\Lambda}{\Gamma}} F(x-ct) + h(t)$$

$$\Rightarrow u(x, t) = \sqrt{\frac{\Lambda}{\Gamma}} i(x, t)$$

= 0 car pertu-
bad par
rapport à l'
état de
repos

ou encore

$$u(x, t) = Z i(x, t) \quad \text{avec } c$$

$$z = \sqrt{\Lambda} \Gamma$$

RQ: Pour l'OPP⁻, le m^{ême} raisonnement donne

$$u(x, t) = -z \hat{i}(x, t)$$

On peut alors réexprimer les relat^s de couplage en f[°] de z et c :

$$\left\{ \begin{array}{l} \frac{\partial u}{\partial t} = -\frac{1}{\Gamma} \frac{\partial i}{\partial x} = -z c \frac{\partial i}{\partial x} \\ \frac{\partial \hat{i}}{\partial t} = -\frac{1}{\Lambda} \frac{\partial u}{\partial x} = -\frac{c}{z} \frac{\partial u}{\partial x} \end{array} \right.$$

Généralisation: Dans le cas de la propagation d'ondes ds 1 milieu simple impliquant le couplage de A_1 et A_2 , les relat^s de couplage s^{ont} dépendants q^{u'} 2 constantes z et c qui sont f[°] du phénomène considéré et du milieu:

$$\left\{ \begin{array}{l} \frac{\partial A_1}{\partial t} = -z c \frac{\partial A_2}{\partial x} \\ \frac{\partial A_2}{\partial t} = -\frac{c}{z} \frac{\partial A_1}{\partial x} \end{array} \right.$$

c : célérité de l'onde
 Z : impédance propogative

relat de
structure

2) Pour 1 OPP[±], $A_1 = \pm Z A_2$.

3) Ds le cas gal, si $A_2 = F(x-ct) + G(x+ct)$
alors $A_1 = Z [F(x-ct) - G(x+ct)]$ et
il n'y a plus de relat de proportionnalité.

b) Cas d'1 grandeur
vectorielle

• 2^{ème} exple: OPP⁺ ds 1 fluide

$$p(x,t) = F(x-ct)$$

$$\frac{\partial \vec{v}}{\partial t} = -\frac{1}{\rho_0} \vec{\nabla} p = -\frac{1}{\rho_0} F'(x-ct) \vec{e}_x$$

$$\vec{v}(x,t) = \frac{1}{\rho_0 c} F(x-ct) \vec{e}_x + \vec{h}(x)$$

$$= \sqrt{\frac{\chi_s}{\rho_0}} F(x-ct) \vec{e}_x$$

ou encore

$$\left\{ \begin{array}{l} p(x,t) \vec{e}_x = Z \vec{v}(x,t) \\ Z = \sqrt{\frac{\rho_0}{\chi_s}} \end{array} \right.$$

Généralisation: 1) Ds le cas de la propagation d'ondes ds 1 milieu simple impliquant le couplage de A_1 et \vec{A}_2 , les relat de couplage sont dépendants q 2 constantes Z et c qui sont f^o du phénomène considéré et du milieu:

$$\begin{cases} \frac{\partial A_1}{\partial t} = -Zc \vec{\nabla} \cdot \vec{A}_2 \\ \frac{\partial \vec{A}_2}{\partial t} = -\frac{c}{Z} \vec{\nabla} A_1 \end{cases}$$

c : célérité de l'onde
 Z : impédance propagative

2) Pour 1 OPP[±], $A_1 \vec{n} = Z \vec{A}_2$ où \vec{n} désigne le vecteur unitaire ds la direction a le sens de propagation.

△ OPP⁻: $\vec{n} \rightarrow -\vec{n}$

3) Ds le cas gal, il n'y a plus de relat de proportionnalité.

c) Cas de 2 grandeurs vectorielles

3^{ème} eqle: $\partial \in \Pi$ ds le vide

$$\left\{ \begin{array}{l} \vec{\nabla} \cdot \vec{E} = 0 \\ \vec{\nabla} \cdot \vec{B} = 0 \end{array} \right. \quad \left\{ \begin{array}{l} \vec{\nabla} \times \vec{E} = -\frac{\partial \vec{B}}{\partial t} \\ \vec{\nabla} \times \vec{B} = \mu_0 \varepsilon_0 \frac{\partial \vec{E}}{\partial t} \end{array} \right.$$

On introduit dans l'écriture magnétique

$$\vec{H} = \frac{\vec{B}}{\mu_0} \Rightarrow \left\{ \begin{array}{l} \vec{\nabla} \cdot \vec{E} = 0 \\ \vec{\nabla} \cdot \vec{B} = 0 \end{array} \right. \quad \left\{ \begin{array}{l} \vec{\nabla} \times \vec{E} = -\mu_0 \frac{\partial \vec{H}}{\partial t} \\ \vec{\nabla} \times \vec{H} = \varepsilon_0 \frac{\partial \vec{E}}{\partial t} \end{array} \right.$$

$$\begin{aligned} \hookrightarrow \Delta \vec{E} &= \vec{\nabla} (\vec{\nabla} \cdot \vec{E}) - \vec{\nabla} \times (\vec{\nabla} \times \vec{E}) \quad \text{relas de couplage} \\ &= \mu_0 \frac{\partial}{\partial t} \vec{\nabla} \times \vec{H} = \mu_0 \varepsilon_0 \frac{\partial^2 \vec{E}}{\partial t^2} \end{aligned}$$

$$\hookrightarrow \Delta \vec{E} - \frac{1}{c^2} \frac{\partial^2 \vec{E}}{\partial t^2} = \vec{0} \quad \text{avec } c = \frac{1}{\sqrt{\mu_0 \varepsilon_0}} \quad \text{EOC}$$

(et pareil pour \vec{H})

OPP⁺ pour \vec{H} : $\vec{H}(x,t) = F(x-ct) \vec{e}_z$

(on a forcément 1 onde transverse, de part l'eqn à la div).

$$\Rightarrow \frac{\partial \vec{E}}{\partial t} = \frac{1}{\varepsilon_0} \vec{\nabla} \times (F \vec{e}_z) = \frac{F'(x-ct)}{\varepsilon_0} \vec{e}_y$$

$$\Rightarrow \vec{E}(x,t) = \frac{F(x-ct)}{c \varepsilon_0} + \vec{E}_0(x) = \vec{0}$$

soit $\vec{E}(x,t) = Z \vec{H}(x,t) \times \vec{e}_x$ où $Z = \sqrt{\frac{\mu_0}{\epsilon_0}} = 377 \Omega$

(impédance propagative du vide)

Généralisation: Dans le cas de la propagation d'ondes dans 1 milieu simple impliquant le couplage de \vec{A}_1 et \vec{A}_2 , les relat de couplage sont dépendants q 2 constantes Z et c qui sont f° du phénomène considéré et du milieu:

$$\begin{cases} \frac{\partial \vec{A}_1}{\partial t} = Zc \nabla \times \vec{A}_2 \\ \frac{\partial \vec{A}_2}{\partial t} = -\frac{c}{Z} \nabla \times \vec{A}_1 \end{cases}$$

c : célérité de l'onde
 Z : impédance propagative

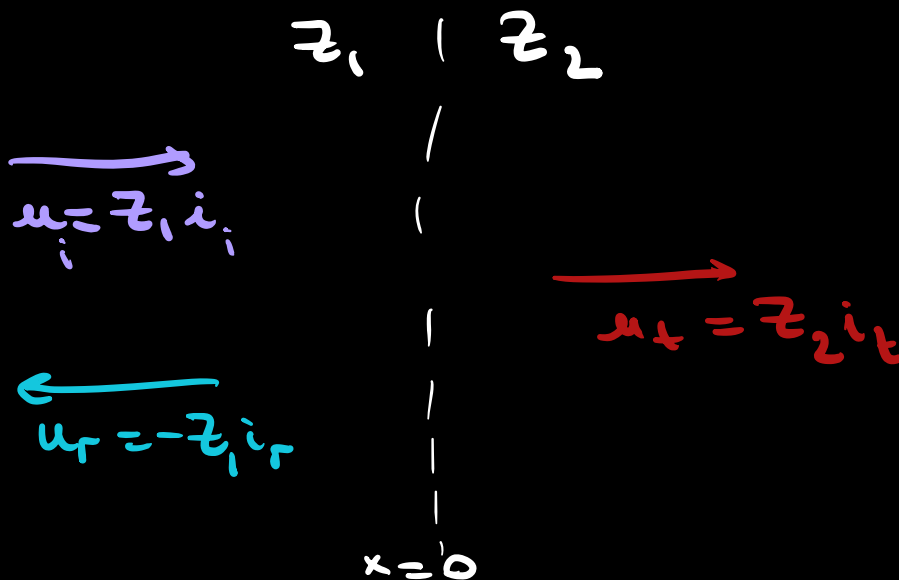
2) Pour 1 OPP[±], $\vec{A}_1 = Z \vec{A}_2 \times \vec{n}$ où \vec{n} désigne le vecteur unitaire de la direction de propagation,
 Δ OPP⁻: $\vec{n} \rightarrow -\vec{n}$

3) Dans le cas gal, il n'y a plus de relat

de proportionnalité.

6/ Réflexion d'1 OPP

- 1 ppte importante des ondes est de pouvoir être réfléchi et transmise à l'interface entre 2 milieux.
- On considère 2 milieux simples \neq d'impédance propagatives Z_1 et Z_2 .



- On envoie 1 OPP⁺ (ex: câble coax. sur 1 résistance)
- PBN: Comme $Z_2 \neq Z_1$, on ne peut à la fois vérifier la CONT des 2 grandeurs couplées à l'interface.

- Il doit donc exister 1 onde réfléchi OPP⁻.

• On a alors:

$$\begin{cases} Z_2 i_t = Z_1 (i_i - i_r) \\ i_t = i_i + i_r \end{cases}$$

$$\Rightarrow Z_2 (i_i + i_r) = Z_1 (i_i - i_r)$$

coeff.
de réflexion
en amplitude

$$\Rightarrow \left\{ \begin{aligned} r &= \frac{i r}{i} = \frac{z_1 - z_2}{z_1 + z_2} \\ t &= \frac{i t}{i} = \frac{2z_1}{z_1 + z_2} \end{aligned} \right.$$

coeff. de transmission
en amplitude.

Pour la tension, on a.

$$\left\{ \begin{aligned} r' &= \frac{u_r}{u_i} = -\frac{z_1 i r}{z_1 i} = -r = \frac{z_2 - z_1}{z_2 + z_1} \\ t' &= \frac{u_t}{u_i} = \frac{z_2 i t}{z_1 i} = \frac{z_2}{z_1} t = \frac{2z_2}{z_1 + z_2} \end{aligned} \right.$$

RQ: valable pour tt type d'onde vérifiant l'EC.

Généralisation: Si $A_1 = \pm Z A_2$ pour $10PP^\pm$

$$\text{alors } \left\{ \begin{aligned} \frac{A_{1,r}}{A_{1,i}} &= \frac{z_2 - z_1}{z_2 + z_1} ; & \frac{A_{1,t}}{A_{1,i}} &= \frac{2z_2}{z_1 + z_2} \\ \frac{A_{2,r}}{A_{2,i}} &= \frac{z_1 - z_2}{z_1 + z_2} ; & \frac{A_{2,t}}{A_{2,i}} &= \frac{2z_1}{z_1 + z_2} \end{aligned} \right.$$

Applicad: 1) caractérisation complète d'un milieu par la mesure de la célérité et de son impédance.

La célérité: retard d'une impulsion (car ϕ de dispersion, i.e. toutes les OPPS sont retardées de la même manière)

La impédance: disparaît de l'onde réfléchie à l'aide d'une impédance variable en sortie.

[Manip: Mesure de c et Z pour un coax avec R terminale.

$$c \approx 2 \cdot 10^8 \text{ m/s} ; Z \approx 50 \Omega$$

2) Impédance de sortie du GBF = 50Ω pour éviter les réflexions vers le GBF à l'entrée du câble coaxial.

• On peut également définir des coeff. de réflexion et de transmission en puissance, i.e.

$$R = \frac{|\Gamma_r|}{|\Gamma_i|} \quad \text{et} \quad T = \frac{|\Gamma_t|}{|\Gamma_i|}$$

En se rappelant que Γ est prop. aux x des grandeurs conjuguées, on a:

$$\left\{ \begin{aligned} R &= \left| \frac{A_{1,r} A_{2,r}}{A_{1,i} A_{2,i}} \right| = \left(\frac{z_1 - z_2}{z_1 + z_2} \right)^2 \\ T &= \left| \frac{A_{1,t} A_{2,t}}{A_{1,i} A_{2,i}} \right| = \frac{4z_1 z_2}{(z_1 + z_2)^2} \end{aligned} \right.$$

En part., on note q $R+T=1$ traduisant la conservation de l'énergie.

- Adaptation d'impédance: pour q la transmission d'énergie soit optimale, il faut q $T=1$ et $R=0$, soit $z_1 = z_2$ (en réseau p.c. la condition sur l'impédance du GBF).

7) Effet Doppler

- Il se manifeste qd l'émetteur & l'obs. sont en movt. On observe alors l'écart de la période de l'onde entre l'OPPS émise par l'émetteur E et celle reçue par l'obs. R.

$$A_E(\vec{r}, t) = A_0 \cos(\omega_E t - \vec{k}_E \cdot \vec{r}) \text{ avec } \omega_E = |\vec{k}_E| c$$

- ⚠ Il existe 2 explications de l'effet Doppler, selon qu'il existe ou non l'réf. privilégié pour la propagation de l'onde, ou encore selon q l'onde peut se propager ds le vide ou non.

a) existence d'un réf. privilégié

• C'est le cas où l'onde ne peut pas se propager de la vide, globalement cela concerne les ondes acoustiq. Il existe alors l'réf. privilégié R_0 , celui de lequel le milieu de propagation est globalement au repos.

• On doit alors repérer le movt de E et R par rapport à R_0 .

• On note \vec{v}_E et \vec{v}_R leur vitesse respective, supposées cste.

• On note $t=0$, l'instant où E passe par l'origine $\Rightarrow \vec{r}_E(t) = \vec{v}_E t$ et $\vec{r}_R(t) = \vec{r}_0 + \vec{v}_R t$.

• En l posit \vec{r} , l'onde reçue à l'instant t a été émise par E à l'instant t_E t. q:

$$\vec{r} - c \vec{m} (t - t_E) = \vec{r}_E(t_E) \quad \text{où } \vec{m} \text{ désigne la direction de propagation de l'OPPS}$$
$$\Rightarrow \vec{r} \cdot \vec{m} - ct = r_E(t_E) \cdot \vec{m} - ct_E$$

$$\Rightarrow t_E = \frac{ct - \vec{r} \cdot \vec{m}}{c - \vec{v}_E \cdot \vec{m}}$$

• Si on suit l'obs., alors il voit à l'instant t l'onde émise à l'instant:

$$t_E = \frac{ct - \vec{r}_R(t) \cdot \vec{m}}{c - \vec{v}_E \cdot \vec{m}} = \frac{c - \vec{v}_R \cdot \vec{m}}{c - \vec{v}_E \cdot \vec{m}} t - \frac{\vec{r}_0 \cdot \vec{m}}{c - \vec{v}_E \cdot \vec{m}}$$

• Ainsi, si l'émetteur émet 1 OPPS

$A_E(\vec{r}, t) = A_0 \cos(\omega t - \vec{k}_E \cdot \vec{r})$, la vibration au niveau de l'émetteur est $A_E(\vec{0}, t) = A_0 \cos(\omega t)$ et l'obs. reçoit la vibration

$$A_R(t) = A_0 \cos(\omega t)$$

$$A_R(t) = A_0 \cos\left(\frac{c - \vec{v}_R \cdot \vec{n}}{c - \vec{v}_E \cdot \vec{n}} \omega t - \frac{\vec{r}_0 \cdot \vec{n} \omega}{c - \vec{v}_E \cdot \vec{n}}\right)$$

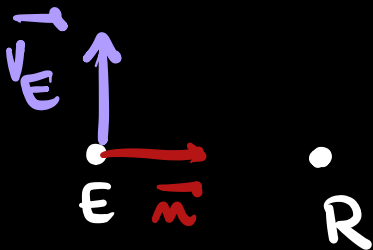
⇒ L'obs. voit 1 vibration (1 onde) de pulsation

$$\omega_R = \frac{c - \vec{v}_R \cdot \vec{n}}{c - \vec{v}_E \cdot \vec{n}} \omega_E$$

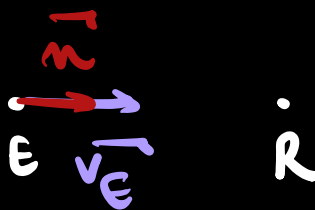
• RQ: L'émetteur & l'obs. ne peuvent pas se déplacer ⊕ vite q̄ c, i.e. $|\vec{v}_R| < c$; $|\vec{v}_E| < c$. Sinon, on observe des ondes de choc dont les caractéristiques sont très ≠.

• On note q̄ l'effet Doppler est anisotrope car dépend de \vec{n} .

Ex: $\vec{v}_R = \vec{0}$ $\omega_R = \frac{\omega_E}{1 - \frac{\vec{v}_E \cdot \vec{n}}{c}} = \frac{\omega_E}{1 - \frac{|\vec{v}_E|}{c} \cos(\vec{v}_E \cdot \vec{n})}$

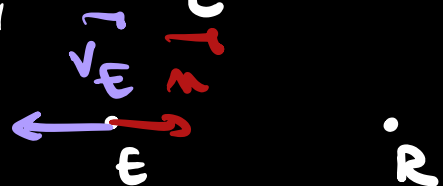


$$\omega_R = \omega_E$$



$$\omega_R > \omega_E$$

⊕ aigu



$$\omega_R > \omega_E$$

⊕ grave

• L'effet dépend de la direction du movt de E et R séparém^t.

• Ds le cas où $|\vec{v}_E|, |\vec{v}_R| \ll c$ alors on obtient la relat^d approchée $\omega_R \approx \omega_E \left(1 + \frac{v_{E/R} \cdot \vec{n}}{c} \right)$, où $v_{E/R} \rightarrow v_E - v_R$

↳ Ds le cas gal^l, ω_R dépend à la fois de \vec{v}_E et \vec{v}_R mais devient 1 f^o de leur vitesse relative si les vitesses impliquées sont petites.

b) Propagation de la vide

• Ds ce cas, il n'y a plus de réf. privilégié, et il faut obs. le movt de E par rapport à R, i.e. en introduisant le réf. propre R' de R.

• Pour cela, on doit réaliser 1 transfo relativiste des vitesses (car rien ne limite les vitesses à devenir de l'ordre de la célérité de la lumière ds le vide).

• On note alors $v_{E/R}$ la vitesse relative de E par rapport à R, et on note R le réf. propre de E.

• Transfo de Lorentz:

$$t = \frac{t' - v_{E/R} x' / c^2}{\sqrt{1 - v_{E/R}^2 / c^2}} = \gamma \left(t' - \beta \frac{x'}{c} \right)$$

$$x = \frac{x' - v_{E/R} t'}{\sqrt{1 - v_{E/R}^2/c^2}} = \gamma (x' - \beta c t')$$

$$y = y', \quad z = z' \quad \beta = \frac{v_{E/R}}{c}, \quad \gamma = \frac{1}{\sqrt{1 - \beta^2}}$$

où ϕ perte de généralité, OS $\vec{v}_{E/R} = v_{E/R} \vec{e}_x$.

. On a alors:

$$\begin{aligned} A(\vec{r}, t) &= A_0 \cos(\omega_E t - \vec{k}_E \cdot \vec{r}) \\ &= A_0 \cos\left[\gamma \omega_E \left(t' - \beta \frac{x'}{c}\right) - k_{E,x} \gamma (x' - \beta c t') \right. \\ &\quad \left. - k_{E,y} y' - k_{E,z} z'\right] \end{aligned}$$

$$\begin{aligned} A(\vec{r}', t') &= A_0 \cos\left[\gamma \left(\omega_E + k_{E,x} \beta c\right) t' - \gamma \left(k_{E,x} + \frac{\beta \omega_E}{c}\right) x' \right. \\ &\quad \left. - k_{E,y} y' - k_{E,z} z'\right] \end{aligned}$$

soit au récepteur: $x' = y' = z' = 0$:

$$A(t') = A_0 \cos\left[\gamma \omega_E \left(1 + \frac{k_{E,x}}{\omega_E} \beta c\right) t'\right]$$

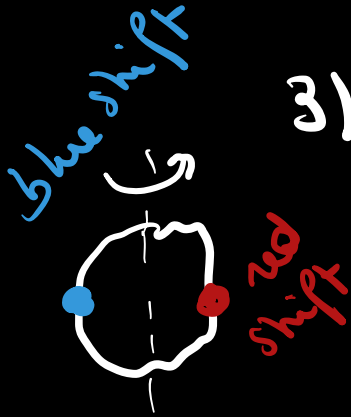
$$\text{Or } k_{E,x} = \frac{\vec{k}_E \cdot \vec{v}_{E/R}}{\|\vec{v}_{E/R}\|} = \frac{\omega_E}{c} \frac{\vec{n} \cdot \vec{v}_{E/R}}{v_{E/R}}$$

$$\Rightarrow A(t') = A_0 \cos\left[\gamma \omega_E \left(1 + \vec{n} \cdot \frac{\vec{v}_{E/R}}{c}\right) t'\right]$$

. L'obs. voit donc l'onde de pulsat. décalée

$$\omega_R = \gamma \omega_E \left(1 + \vec{n} \cdot \frac{v_E \vec{R}}{c} \right)$$

- Ppts:
- 1) Tjs anisotrope.
 - 2) Ne dépend q de la vitesse relative \vec{m} ds le cas gal.
 - 3) De la limite NR, on trouve:



$$\omega_R \approx \omega_E \left(1 + \vec{n} \cdot \frac{v_E \vec{R}}{c} \right) \text{ analogue au cas précédent.}$$

Applicad: Mesure de vitesses des étoiles, de véhicules, etc.

III. ONDES STATIONNAIRES

Jusqu'à présent, nous nous sommes intéressés à des ondes ds des milieux ouverts ∞ . Puis nous avons discuté ce qui passait à l'interface entre 2 milieux. Cela suppose d'étudier \oplus en détails la propagation des ondes ds 1 milieu fermé, ou encore du rôle des ClS sur la propagation des ondes.

1) Définit

- On appelle OS toute sol^e de l'eqn d'onde pour laquelle les variables d'espace a de tps sont découplées, i.e.,

$$A(x,t) = f(x)g(t)$$

où f & g sont des f° réelles

• Sa recherche se fait le @ souvent en isolant de l'eqn d'onde les dépendances spatiales & temp. de part & d'autre au signe =.

• Pour l'EOC, on a: $f''(x)g(t) - \frac{1}{c^2}g''(t)f(x) = 0$
 La $\frac{f''(x)}{f(x)} = \frac{g''(t)}{c^2g(t)} = -\lambda$

$\Rightarrow \begin{cases} f''(x) + \lambda f(x) = 0 \\ g''(t) + \lambda c^2 g(t) = 0 \end{cases}$ où $\lambda \in \mathbb{R}$

• Si $\lambda < 0$, alors $g(t) = g_+ e^{\sqrt{-\lambda}ct} + g_- e^{-\sqrt{-\lambda}ct}$
éviter la dv *pas réversibilité*

Donc $\lambda > 0$ et on le note $\lambda = q^2$.

Alors $\begin{cases} f''(x) + q^2 f(x) = 0 \\ g''(t) + q^2 c^2 g(t) = 0 \end{cases}$

soit $\begin{cases} f(x) = f_0 \cos(qx + \varphi_x) \\ g(t) = g_0 \cos(qct + \varphi_t) \end{cases}$

et en fine $A(x,t) = A_0 \cos(kx + \varphi_x) \cos(\omega t + \varphi_t)$
 où $\omega = kc$

qu'on peut prendre = 0
 quitte à redéf.
 l'origine des tps

• Interprétation φ : On observe en chq pt l'oscillation en φ (ou) en opposition de φ [selon le signe de $\cos(kx + \varphi_x)$] et d'amplitude prop. à $|\cos(kx + \varphi_x)|$.

• PS: la relation entre kx & ωt est identique pour les OS & les OPPS. C'est normal car toute OPPS peut s'écrire comme la Σ de 2 OS et réciproquement. MAIS attend il n'y a pas de propagation.

↳ on a donc 2 bases eq. pour développer les sol. Le choix dépendra du pbm considéré ou encore des Chs.

$$\cos(\omega t + \varphi_t) \cos(kx + \varphi_x) = \frac{1}{2} \left[\cos(\omega t + kx + \varphi_t + \varphi_x) + \cos(\omega t - kx + \varphi_t - \varphi_x) \right]$$

$\left. \begin{array}{l} \text{OPP}^- \\ \text{OPP}^+ \end{array} \right\}$

$$\begin{aligned}
 \text{et } \cos(\omega t \pm kx + \varphi) &= \cos(\omega t) \cos(\pm kx + \varphi) \\
 &\quad - \sin(\omega t) \sin(\pm kx + \varphi) \\
 &= \cos(\omega t) \cos(kx \pm \varphi) \\
 &\quad + \cos(\omega t + \frac{\pi}{2}) \cos(kx \pm \varphi \mp \frac{\pi}{2})
 \end{aligned}$$

- Interprétation φ : le fait q̄ l'OS peut se décom-
poser comme la Σ d'1 OPP⁺ et d'1 OPP⁻ traduit
le fait q̄ les Cs induisent de la réflexion
sur les bords (fermeture par des impédances
terminales p.c.).

Manip: Illustrer sur le tube de Kundt l'excit-
lad en chq pt ainsi q̄ l'importance des Cs /
impédances terminales (quasi ∞ au bout et
vibrat empêché en entrée).

- RQ: La dif. d'OS est ici donnée ds le cadre de
la φ chariq. En RQ, 1 OS est le \times de 2 f°
complexes. Par csqt, les OPPS sont des OS ds
ce cadre (φ° d'onde stationnaires de la part.
quantiq libre).

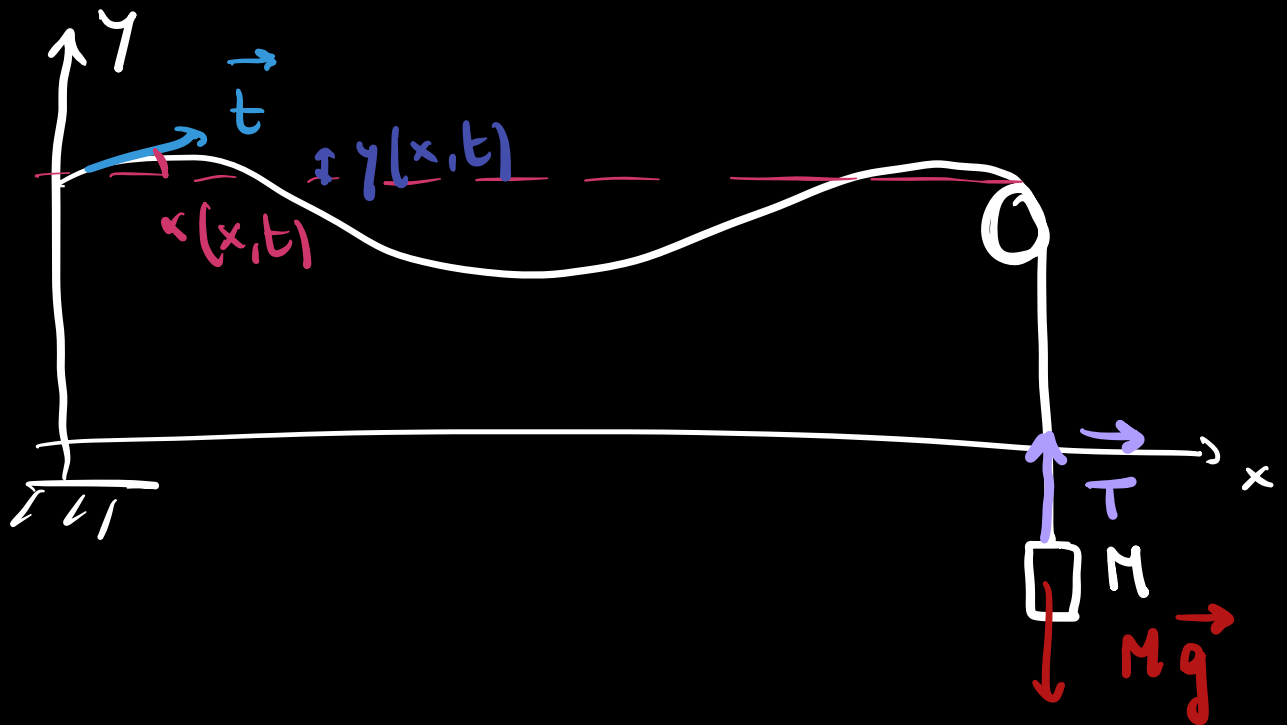
2) Modes

a) Calcul des modes propres

- Nous allons nous intéresser à 1 cas particulier

d'OS obtenue en imposant des CBs rigides aux frontières du domaine, i.e. en imposant la valeur de l'1 des 2 grandeurs couplées en $x=0$ et $x=L$.

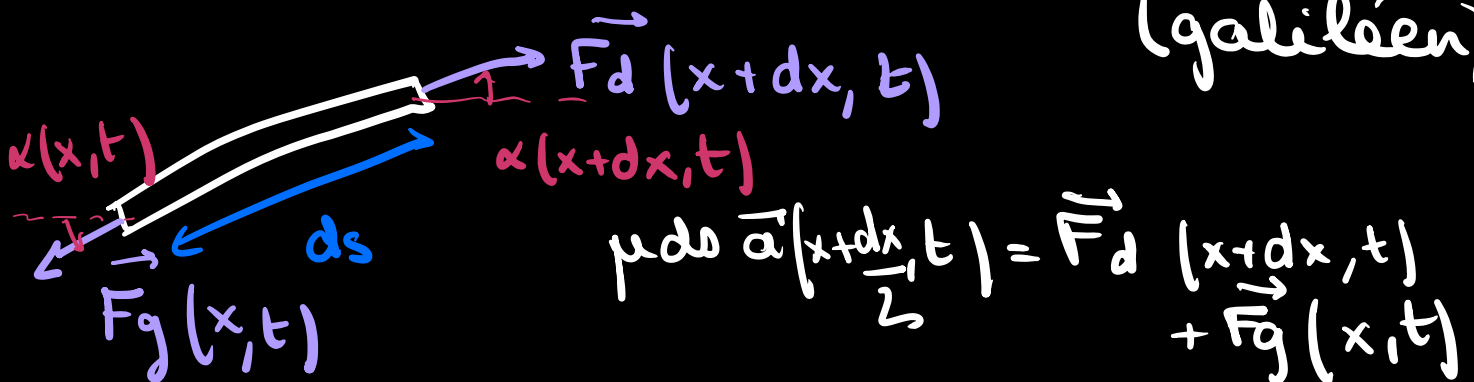
• Ex: corde de Melde



- Hyp:
- ① OS la corde fixe aux 2 bouts.
 - ② OS q̄ la masse M est tellement grande q̄ son accélération est négligeable
↳ PFD à la masse: $Mg = T$
 - ③ On considère le déplacement perpendiculaire vertical, ce qui revient à supposer la corde inextensible
 - ④ OS la corde homogène, de masse linéique μ uniforme.

- ⑤ On néglige l'amortissement (fluide, rayonnement acoustique, dissipation interne)
- ⑥ On néglige l'influence de la pesanteur.
- ⑦ OS de petits déplacements verticaux, de sorte q le vecteur tangent \vec{t} à la corde fait l'angle $\alpha \ll 1$ avec l'horizontale.

PFD à l'élément de corde ds de la réf. du labo (galiléen):



$$\mu ds \vec{a}(x+dx, t) = \vec{F}_d(x+dx, t) + \vec{F}_g(x, t)$$

$$\Rightarrow \begin{cases} 0 = |\vec{F}_d(x+dx, t)| \cos \alpha(x+dx, t) - |\vec{F}_g(x, t)| \cos \alpha(x, t) \\ \mu ds \frac{\partial^2 y}{\partial t^2}(x+dx, t) = |\vec{F}_d(x+dx, t)| \sin \alpha(x+dx, t) - |\vec{F}_g(x, t)| \sin \alpha(x, t) \end{cases}$$

Comme $\alpha \ll 1$, on a au 1^{er} ordre:

$$|\vec{F}_d(x, t)| = |\vec{F}_g(x, t)| = T, \quad ds = dx \sqrt{1 + \left| \frac{\partial y}{\partial x} \right|^2} \approx dx \text{ et}$$

$$\mu \frac{\partial^2 y}{\partial t^2} = \frac{\partial}{\partial x} (T \sin \alpha) \approx T \frac{\partial \alpha}{\partial x}$$

Où $\alpha = \frac{\partial y}{\partial x}$, soit

$$\frac{\partial^2 y}{\partial x^2} - \frac{1}{c^2} \frac{\partial^2 y}{\partial t^2} = 0$$

EOC

$$\text{où } c = \sqrt{\frac{T}{\mu}}$$

• On cherche alors la sol^o sous la forme d'OS qui s'impose naturellement car on impose les vibrations en des pts particuliers:

$$y(x,t) = y_0 \cos(\omega t + \varphi_t) \cos(kx + \varphi_x)$$

• On impose les Cs:

$$\begin{cases} y(0,t) = 0 \\ y(L,t) = 0 \end{cases} \Rightarrow \begin{cases} \cos \varphi_x = 0 \\ \cos(kL + \varphi_x) = 0 \end{cases}$$

La 1^{ère} eqn donne $\varphi_x = \pm \frac{\pi}{2}$: en garde $\varphi_x = -\frac{\pi}{2}$ car prendre $+\frac{\pi}{2}$ revient à changer y_0 en $-y_0$: $\cos(kx + \frac{\pi}{2}) = -\sin(kx) = -\cos(kx - \frac{\pi}{2})$.

La 2^{ème} eqn donne $\sin(kL) = 0$ valable q pour l'EOC

$$\Rightarrow k = k_n = \frac{n\pi}{L} \text{ où } n \in \mathbb{N}^* \text{ ou } \omega = \omega_n = \frac{n\pi c}{L}$$

(car $n \rightarrow -n$ revient à $y_0 \rightarrow -y_0$).

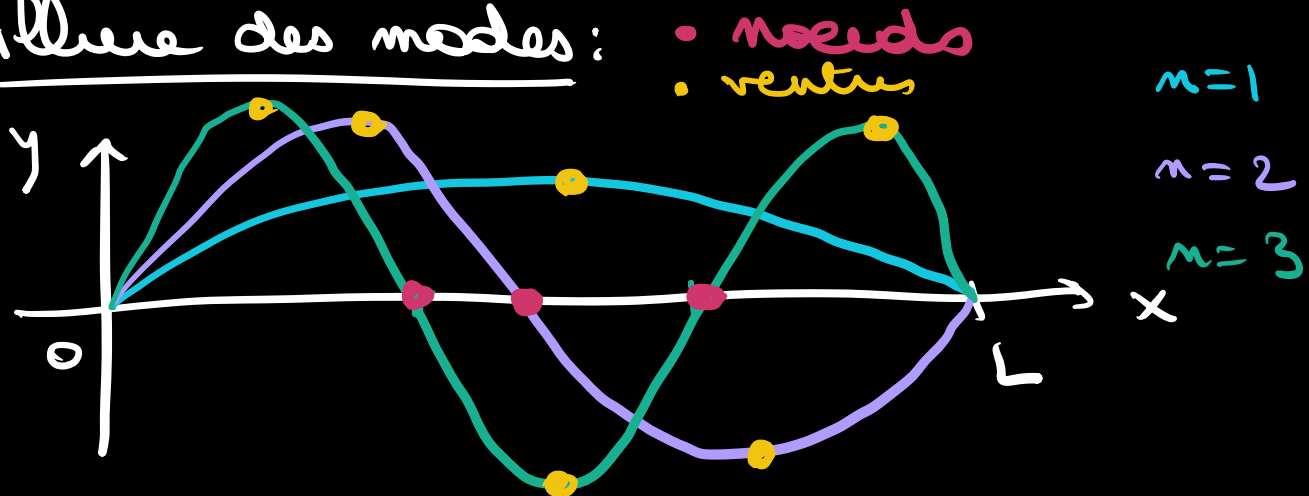
• On voit donc apparaître l'infini de dénombrable de sol^o part. appelées modes propres

et qui correspondent à des OS qui vérifient les OS:

$$y_m(x,t) = y_{0,m} \sin\left(\frac{m\pi x}{L}\right) \cos\left(\frac{m\pi c}{L}t + \varphi\right)$$

- RD1: On parle parfois de modes normaux car ils sont \perp pour le produit scalaire canonique $\langle f, g \rangle = \int f^* g(x) dx$.
- RD2: C'est l'éq. des modes propres pour l'ens. d'oscillateurs couplés. On rappelle qu'en présence de N DDLs, il y a N modes propres. C'est donc normal qu'ici on en trouve 1 mode os.

Allure des modes:



• On définit alors les noeuds & ventres de vibration:

* noeud: régions de l'espace où la vibration est nulle à \forall tps

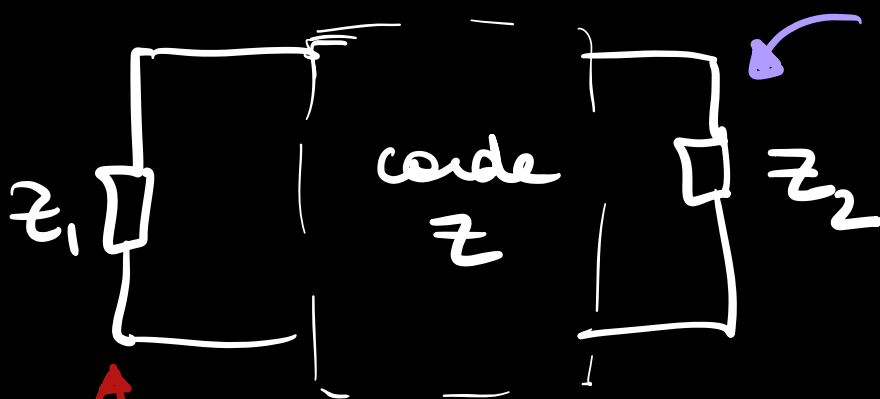
* ventre: _____
d'amplitude max à \forall tps.

- On notera qu'ici, le mode n présente n ventres et $n-1$ nœuds intérieurs.
- On aurait pu trouver l'expression des modes en utilisant les impédances. Pour la corde de Helde, on peut trouver l'impédance par analogie. Si on note $F = T\alpha = T \frac{\partial y}{\partial x}$ ($= F_0$) et par analogie avec le coax

$$\left\{ \begin{array}{l} \frac{\partial F}{\partial t} = T \frac{\partial v}{\partial x} \\ \frac{\partial v}{\partial t} = \frac{1}{\mu} \frac{\partial F}{\partial x} \end{array} \right. \quad \left\{ \begin{array}{l} v \leftrightarrow i \\ F \leftrightarrow u \\ \mu \leftrightarrow -\Lambda \end{array} \right. \quad T \leftrightarrow -\frac{1}{\Gamma}$$

On retrouve bien $c = \frac{1}{\sqrt{\Lambda \Gamma}} = \sqrt{\frac{T}{\mu}}$ et on a également $Z = \frac{F}{v} = \sqrt{T\mu}$.

En $x=0$ et $x=L$, on impose $F=T$ et $v=0$.
 Cela revient à dire qu'on a fermé la corde avec 2 impédances $Z_1 = Z_2 = +\infty$.



$$\Gamma = \frac{v_r(L,t)}{v_i(L,t)} = \frac{Z - Z_2}{Z + Z_2} = -1$$

$$\Gamma' = \frac{v_i(0,t)}{v_r(0,t)} = \frac{Z - Z_1}{Z + Z_1} = -1$$

Comme $\begin{cases} v_i(x,t) = v_{0,i} \cos(\omega t - kx + \varphi) = 0 \\ v_r(x,t) = v_{0,r} \cos(\omega t + kx + \varphi) \end{cases}$

on a $v_{0,i} \cos(\omega t) = -v_{0,r} \cos(\omega t + \varphi)$

$\Rightarrow \begin{cases} v_{0,i} = -v_{0,r} \cos \varphi \\ 0 = v_{0,r} \sin \varphi \end{cases}$

quitte à redéf. l'origine des temps

$\Rightarrow \varphi = 0 (\pi)$ et $v_{0,r} = -\frac{v_{0,i}}{\cos \varphi}$

on peut prendre $\varphi = 0$, quitte à faire la transformation $v_{0,r} \rightarrow -v_{0,r}$.

on a donc $\begin{cases} v_i(x,t) = v_{0,i} \cos(\omega t - kx) \\ v_r(x,t) = -v_{0,i} \cos(\omega t + kx) \end{cases}$

De $\textcircled{+}$ $\frac{-\cos(\omega t + kL)}{\cos(\omega t - kL)} = -1 \Rightarrow \cos(\omega t + kL) = \cos(\omega t - kL)$

La on retrouve $\sin(kL) = 0 \Rightarrow k_n = \frac{n\pi}{L} (n \in \mathbb{N}^*)$

et de $\textcircled{+}$ $v(x,t) = v_{0,i} [\cos(\omega t - kx) - \cos(\omega t + kx)]$

soit $v(x,t) = 2v_{0,i} \sin(\omega t) \sin(kx)$

et donc $y(x,t) = \frac{2v_{0,i}}{\omega} \cos(\omega t + \varphi_i) \sin(kx)$

↳ c'est l'expression obtenue précédemment!

- On retiendra donc q̄ le confinement de l'onde induit la quantification des vecteurs d'onde et des pulsations propres de l'onde.

b) Obtention d'un sol qq

- Par linéarité, on obtient toutes les sol° vérifiant les Cs par comb. linéaire des \neq modes:

$$y(x,t) = \sum_{n=1}^{+\infty} y_{0,n} \cos\left(\frac{n\pi c t}{L} + \varphi_n\right) \sin\left(\frac{n\pi x}{L}\right)$$

- Il s'agit d'une manière \neq de construire l'ensemble q̄ le paquet d'onde, qui lui se base sur les OPPS. L'utilisation des modes est \oplus adaptée pour imposer les Cs.
- Les ctes $y_{0,n}$ et φ_n sont obtenues à partir des Cs, i.e. par la donnée de $y(x,0)$ et de la vitesse initiale $\partial y / \partial t(x,0)$.
- ↳ il suffit pour cela de projeter (les modes sont \perp)

$$\begin{aligned}
&\hookrightarrow \int_0^L \sin\left(\frac{n\pi x}{L}\right) \sin\left(\frac{m\pi x}{L}\right) dx \\
&= \int_0^L \frac{dx}{2} \left\{ \cos\left(\frac{(n-m)\pi x}{L}\right) - \cos\left(\frac{(n+m)\pi x}{L}\right) \right\} \\
&= \frac{L}{2\pi} \left[\frac{\sin\left(\frac{(n-m)\pi x}{L}\right)}{n-m} - \frac{\sin\left(\frac{(n+m)\pi x}{L}\right)}{n+m} \right]_0^L \\
&= \begin{cases} 0 & \text{si } n \neq m \\ \frac{L}{2} & \text{si } n = m \end{cases}
\end{aligned}$$

$$\text{Ainsi } y(x, 0) = \sum_{n=1}^{+\infty} y_{0,n} \cos \rho_n \sin\left(\frac{n\pi x}{L}\right)$$

$$\hookrightarrow \frac{2}{L} \int_0^L y(x, 0) \sin\left(\frac{n\pi x}{L}\right) dx = y_{0,n} \cos \rho_n$$

$$\text{et } \frac{\partial y}{\partial t}(x, 0) = -\sum_{n=1}^{+\infty} y_{0,n} \sin \rho_n \frac{n\pi c}{L} \sin\left(\frac{n\pi x}{L}\right)$$

$$\hookrightarrow \frac{2}{L} \int_0^L \frac{\partial y}{\partial t}(x, 0) \sin\left(\frac{n\pi x}{L}\right) dx = -\frac{n\pi c}{L} y_{0,n} \sin \rho_n$$

• Rq: Ds le cas où $y(x, t)$ n'est pas 1 OS, mais 1 superposé d'OS. Par contre, si le syst. est préparé initialement ds 1 mode alors $y(x, t)$ est 1 OS.

c) Énergie d'un mode

- Pour calculer l'énergie d'un mode, on procède là encore par analogie:

$$\mathcal{E} = \frac{1}{2} \Lambda \dot{u}^2 + \frac{1}{2} T u'^2 = \frac{1}{2} \mu v^2 + \frac{F^2}{2T}$$

$$\text{soit } \mathcal{E} = \underbrace{\frac{1}{2} \mu \left(\frac{\partial y}{\partial t} \right)^2}_{\text{cinétique}} + \underbrace{\frac{1}{2} T \left(\frac{\partial y}{\partial x} \right)^2}_{\text{potentielle liée au travail de la tension}}$$

cinétique

potentielle liée
au travail de
la tension

solide déformable

En effet, il suffit d'appliquer le PPC à l'élément de poutre:

$$\frac{d\mathcal{E}_c}{dt} = F(x+dx, t)v(x+dx, t) - F(x, t)v(x, t) + P_{\text{int}}$$
$$= \left[\frac{\partial F}{\partial x} v + F \frac{\partial v}{\partial x} \right] dx + P_{\text{int}}$$

$$= \left[\mu v \frac{\partial v}{\partial t} + \frac{1}{T} F \frac{\partial F}{\partial x} \right] dx + P_{\text{int}}$$

$$= \left[\frac{\partial}{\partial t} \left(\frac{1}{2} \mu v^2 + \frac{F^2}{2T} \right) \right] dx + P_{\text{int}}$$

$$\Rightarrow P_{\text{int}} = - \frac{\partial}{\partial t} \left(\frac{F^2}{2T} \right) dx \text{ et donc}$$

$$\frac{\partial}{\partial t} \left(\frac{1}{2} \mu v^2 + \frac{F^2}{2T} \right) = \frac{\partial}{\partial x} (Fv) : \text{eqn de conservation de l'énergie}$$

• Avec le mode n , on peut calculer E_n en intégrant sur toute la longueur de corde:

$$E_n = \int_0^L dx \left\{ \frac{1}{2} \mu \left(\frac{\partial y_n}{\partial t} \right)^2 + \frac{1}{2} T \left(\frac{\partial y_n}{\partial x} \right)^2 \right\}$$

$$\textcircled{a} y_n(x, t) = y_{0,n} \cos\left(\frac{n\pi c t}{L} + \varphi_n\right) \sin\left(\frac{n\pi x}{L}\right)$$

$$\frac{\partial y_n}{\partial x}(x, t) = \frac{n\pi}{L} y_{0,n} \cos\left(\frac{n\pi c t}{L} + \varphi_n\right) \cos\left(\frac{n\pi x}{L}\right)$$

$$\frac{\partial y_n}{\partial t}(x, t) = -\frac{n\pi c}{L} y_{0,n} \sin\left(\frac{n\pi c t}{L} + \varphi_n\right) \sin\left(\frac{n\pi x}{L}\right)$$

$$\text{soit } E_n = \frac{1}{2} \left(\frac{n\pi}{L} y_{0,n} \right)^2 \int_0^L dx \left\{ c^2 \mu \sin^2\left(\frac{n\pi c t}{L} + \varphi_n\right) \sin^2\left(\frac{n\pi x}{L}\right) \right.$$

$$\left. + T \cos^2\left(\frac{n\pi c t}{L} + \varphi_n\right) \cos^2\left(\frac{n\pi x}{L}\right) \right\}$$

$$E_n = \frac{T}{4} \left(\frac{n\pi}{L} y_{0,n} \right)^2$$

$$E_n = \frac{n^2 \pi^2 T}{4L} y_{0,n}^2 \propto n^2$$

• $\textcircled{+}$ 1 mode a 1 grand nœud, $\textcircled{+}$ il a 1 énergie importante (ég. charact. de H_n de Sturm-Liouville en \mathbb{N}).

- RD: Il n'y a pas quantification de l'énergie bien qu'il y ait quantification des valeurs possibles propres car $E_n \propto y_{0,n}^2$. Autrement dit, l'énergie d'un mode est constante et égale à l'énergie injectée. Cela est ≠ de la NR où l'énergie est quantifiée. Cela vient en réalité de la condition de normalisation de la f° d'onde ($y_{0,n}$ fixée).

3) Ondes stationnaires résonantes

- On change les Cs qu'on impose, et $\underline{O_2}$ qu'on excite ~ le syst. en l'extrémité ($x=0$).

$$\left\{ \begin{array}{l} y(0,t) = y_0 \cos(\omega t) \\ y(L,t) = 0 \end{array} \right.$$

- On part de $y(x,t) = A \cos(\omega t + \varphi_t) \cos(kx + \varphi_x)$ et on trouve

$$\left\{ \begin{array}{l} \varphi_t = 0 \text{ et } A \cos \varphi_x = y_0 \\ \cos(kL + \varphi_x) = 0 \Rightarrow \varphi_x + kL = \frac{\pi}{2} + n\pi \\ (n \in \mathbb{N}^*) \end{array} \right.$$

$$\text{On a donc } A(-1)^m \sin(kL) = y_0$$

$$\Rightarrow A = (-1)^m \frac{y_0}{\sin(kL)}$$

$$\text{donc } y(x,t) = \frac{(-1)^m y_0}{\sin(kL)} \cos(\omega t) \cos\left(kx + \frac{\pi}{L} + m\pi - kL\right)$$

$$y(x,t) = \frac{y_0}{\sin(kL)} \cos(\omega t) \sin(k(L-x))$$

- On constate donc \bar{q} pour le pulsat ω s'établit de la $\text{vgt. } 1 \text{ OS}$.

⚠ c'est \neq des CLs rigides où on n'observe des OS \bar{q} pour certaines pulsats.

- De \oplus , on voit \bar{q} l'amplitude du q_d :
 $k_n L = n\pi \quad (n \in \mathbb{N}^*)$

\Rightarrow on observe 1 résonance q_d ω coïncide avec 1 pulsat propre de la corde.

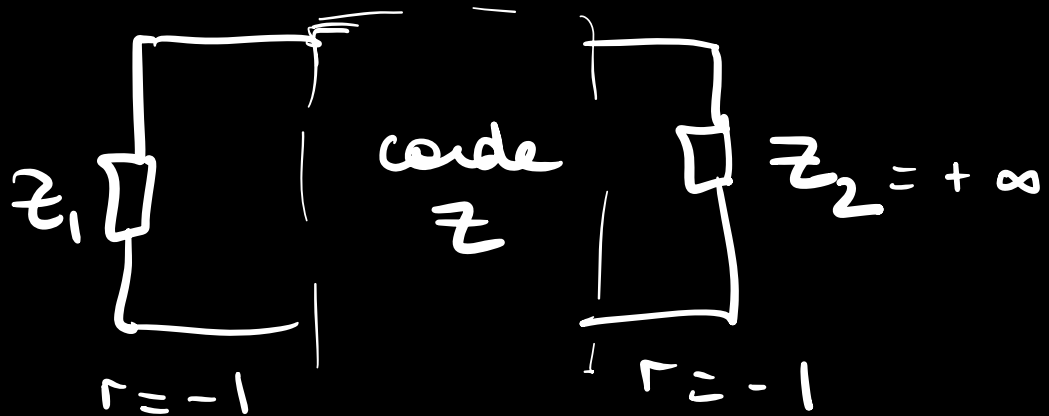
Autrement dit, les OS résonantes sont les modes propres.

• RQ1: En pratiq, $y(x,t)$ ne du pas à cause de toutes les sources de dissipation les Nls q nous n'avons pas pris en compte.

• RQ2: C'est l'éq. du RST pour l'ens. discret d'oscillateurs. On retrouve donc bien q les pics de résonance correspondent aux pics propres du syst.

• RQ3: On peut proposer une interprétation interférentielle des résonances.

↳ réflexion totale en $x=L$ (impédance ∞)



↳ en $x=0$, l'amplitude de vibrat est y_0 et elle est très petite devant l'amplitude max. de vibrat de la corde $\frac{y_0}{\sin(kL)}$ au voisinage d'une résonance

\Rightarrow quasi-nœud de vitesse en $x=0$

$$\hookrightarrow z_1 \approx +\infty$$

\hookrightarrow le déphasage acquis par l'OPPS au bout d'1 aller-retour est

$$2kL + \pi + \pi = 2kL + 2\pi$$



2 réflexions ($\Gamma \in \mathbb{R}^-$)

\hookrightarrow résonance si l'onde au bout d'1 aller-retour s'ajoute en phase (constructivement) avec l'onde fournie par le vibreur, soit $2k_n L + 2\pi = 2n\pi \Rightarrow k_n = \frac{n\pi}{L}$

Req 4: Si le forçage est harmonique alors l'onde obtenue est 1^{OS}. Ce n'est pas le cas lorsqu'il n'est ^{pas} harmonique: on a alors 1 superposition d'OS (et pas de modes Δ).

de composer en série de Fourier de l'excitad.

Tableau récapitulatif:

| Phénomène ondulatoire | Grandeurs couplées | Célérité | Impédance propagative |
|------------------------|--------------------|---|---------------------------------------|
| ep | E, B | $c = \frac{1}{\sqrt{\mu_0 \epsilon_0}}$ | $Z = \sqrt{\frac{\mu_0}{\epsilon_0}}$ |
| electrocinétique | u, i | $c = \frac{1}{\sqrt{L \lambda}}$ | $Z = \sqrt{\frac{\lambda}{L}}$ |
| compression d'l fluide | p, v | $c = \frac{1}{\sqrt{\rho_0 \chi_s}}$ | $Z = \sqrt{\frac{\rho_0}{\chi_s}}$ |
| compression d'l solide | v, σ | $c = \sqrt{\frac{E}{\rho}}$ | $Z = \sqrt{E \rho}$ |
| flexion d'l corde | v, F | $c = \sqrt{\frac{T}{\mu}}$ | $Z = \sqrt{T \mu}$ |
| flexion d'l poutre | v, M | / | / |